

м.к. $\text{div } \vec{E}_m = 0$ $\{ \text{no } \vec{J} \} \Rightarrow \text{grad}(\text{div } \vec{E}_m) = 0,$

м.о. ~~$\nabla^2 \vec{E}_m = -\omega^2 \mu_0 \vec{J}$~~ $\nabla^2 \vec{E}_m + \omega^2 \mu_0 \epsilon_0 \vec{E}_m = 0$ (15)

обозначим $\dot{J}^2 = -\omega^2 \mu_0 \epsilon_0$ (16)

\dot{J} - коэф. распространения

$\dot{J} = \alpha + j\beta$ (4 сешкара.)

α - коэф. ослабления, β - коэф. фазы.

м.о. $\nabla^2 \vec{E}_m - \dot{J}^2 \vec{E}_m = 0$ (17) $\{ = (1) \text{ в сфер. координ.} \}$

(17) - векторное однородное уравнение Гельмгольца

30.10

$\nabla^2 = \frac{\partial^2}{\partial x^2} + \frac{\partial^2}{\partial y^2} + \frac{\partial^2}{\partial z^2}$ - Лапласиан

Если φ - скалярное поле, т.е. $\varphi = \varphi(\vec{R})$

$\nabla^2 \varphi = \frac{\partial^2 \varphi}{\partial x^2} + \frac{\partial^2 \varphi}{\partial y^2} + \frac{\partial^2 \varphi}{\partial z^2}$

(1) - соотв. сфер. ур-ние Гельмгольца в координатной форме.

$(\nabla^2 E_{mx}) \vec{i}_x + (\nabla^2 E_{my}) \vec{i}_y + (\nabla^2 E_{mz}) \vec{i}_z - \dot{J}^2 (E_{mx} \vec{i}_x + E_{my} \vec{i}_y + E_{mz} \vec{i}_z) = 0$

или:

~~$\frac{\partial^2 E_{mx}}{\partial x^2} + \frac{\partial^2 E_{my}}{\partial y^2} + \frac{\partial^2 E_{mz}}{\partial z^2}$
 $\frac{\partial^2 E_{my}}{\partial y^2} + \frac{\partial^2 E_{mx}}{\partial x^2} + \frac{\partial^2 E_{mz}}{\partial z^2}$
 $\frac{\partial^2 E_{mz}}{\partial x^2} + \frac{\partial^2 E_{my}}{\partial y^2} + \frac{\partial^2 E_{mx}}{\partial z^2}$~~

(2) $\left\{ \begin{aligned} \frac{\partial^2 E_{mz}}{\partial x^2} + \frac{\partial^2 E_{mz}}{\partial y^2} + \frac{\partial^2 E_{mz}}{\partial z^2} - \dot{J}^2 E_{mz} &= 0 \\ \frac{\partial^2 E_{my}}{\partial x^2} + \frac{\partial^2 E_{my}}{\partial y^2} + \frac{\partial^2 E_{my}}{\partial z^2} - \dot{J}^2 E_{my} &= 0 \\ \frac{\partial^2 E_{mx}}{\partial x^2} + \frac{\partial^2 E_{mx}}{\partial y^2} + \frac{\partial^2 E_{mx}}{\partial z^2} - \dot{J}^2 E_{mx} &= 0 \end{aligned} \right.$

Дифференциальные простейшие уравнения.

м.е. $E_{my} = E_{mz} = 0$
 $E_{mx} = E_{mx}(z)$
 $\frac{\partial E_{my}}{\partial x} = \frac{\partial E_{mz}}{\partial y} = 0$

м.о. $\frac{\partial^2 E_{mx}}{\partial z^2} - j^2 E_{mx} = 0 \quad (3)$

решение (3) имеет вид: $E_{mx} = E_{m1} e^{j_1 z} + E_{m2} e^{j_2 z} \quad (4)$
 $j_{1,2} = \sqrt{j^2}$

Рассмотрим подробно j_1 и j_2

$j^2 = -\omega^2 \epsilon_a \mu_a \quad (5)$ - при этом ранее

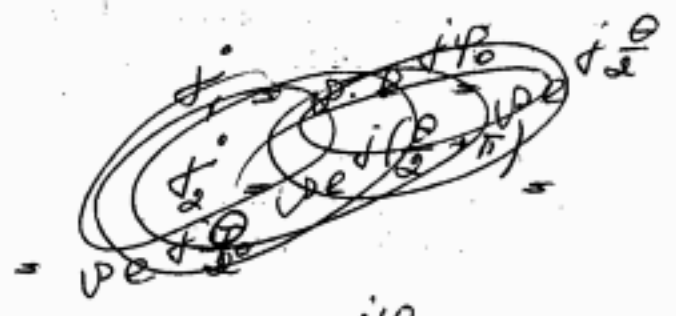
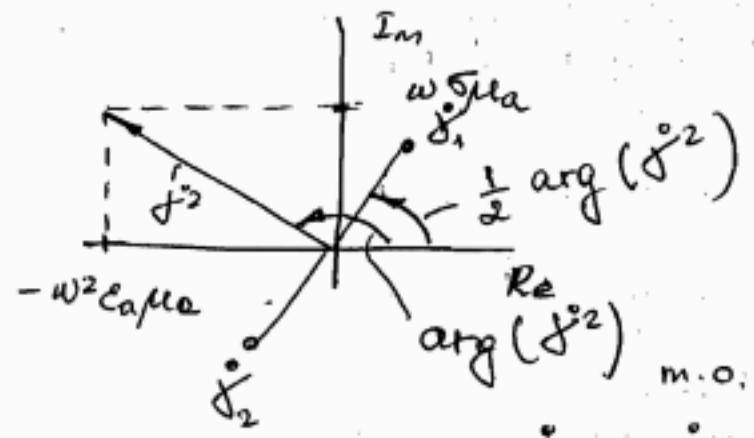
$\epsilon_a = \epsilon_a - j \frac{\sigma}{\omega} \quad (6)$

$j^2 = \epsilon_a - \omega^2 \epsilon_a \mu_a - j \omega \sigma \mu_a \quad (7)$

Изобразим (7) на комплексной плоскости.

$Re j^2 = -\omega^2 \epsilon_a \mu_a < 0$

$Im j^2 = \omega \sigma \mu_a > 0$



$j_1 = j = \rho e^{j\phi_0}$
 $j_2 = \rho e^{j(\frac{\phi_0}{2} + \pi)} = \rho e^{j\phi_0} e^{j\pi} = -j$

м.о. где (4) можно записать:

$E_{mx} = E_{m1} e^{j_1 z} + E_{m2} e^{-j_1 z} \quad (8)$

В конце 4-го упражнения показано, что $j^2 = \alpha + j\beta$, тогда видно, что

(8) представляет собой сумму 2-х волн ω к фронтальной части z и ω к задней части z .
 одна в сторону z , а другая в сторону противоположных z .

$z = z \cdot e^{j\theta}$

$\omega = \sqrt{z}$

$\omega = \rho \cdot e^{j\varphi}$

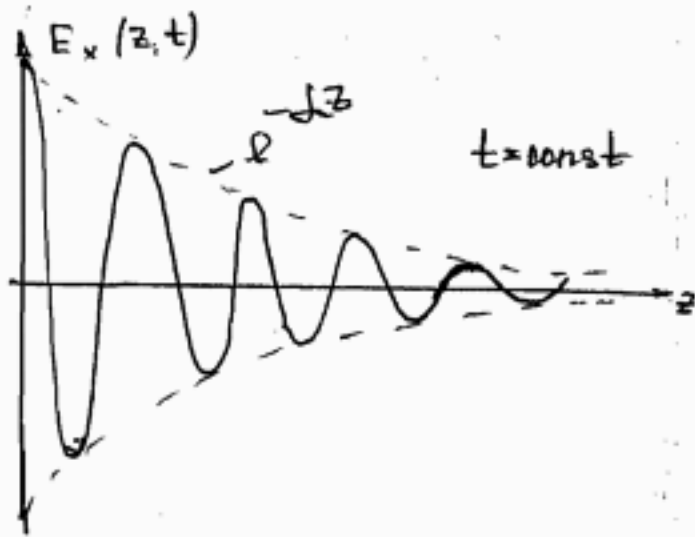
м.к. $\omega^2 = z$

м.о. $(\rho \cdot e^{j\varphi})^2 = \rho^2 e^{j2\varphi} = z \cdot e^{j\theta}$

м.о. $\rho = \sqrt{z}$

$2\varphi_k = \theta + 2k\pi, \quad k=0, \pm 1, \dots$
 $\varphi_0 = \frac{\theta}{2}; \quad \varphi_1 = \frac{\theta}{2} + \pi$

Решений бесконечно много, но только 2 различны



м.о. (8) - суперпозиция
 α -х волн.

Объяснение графика
 см. в слайде 4.

Рассмотрим малое, распространяющееся по направлению положительных значений z

$$\vec{E}_m = E_m e^{-\alpha z} \vec{i}_x \quad (10)$$

$$\vec{E}(z, t) = E_m e^{-\alpha z} \cos(\omega t - \beta z + \varphi_0) \vec{i}_x \quad (11)$$

- веществ. сигнал, соотв. (10)

$$\text{из (11)} \Rightarrow \forall z, t: \vec{E}(z, t) \parallel \vec{i}_x \quad (12)$$

(12) \Rightarrow $\vec{E}(z, t)$ параллелен \vec{i}_x в любой момент,
 м.о. $\vec{E}(z, t)$ наход. в м-ти xOz и \perp вект.
 оси Oz

Для век-ва \perp -ми: $\vec{E}(z, t) \cdot \vec{i}_z = E_m e^{-\alpha z} \cos(\omega t - \beta z + \varphi_0) \vec{i}_x \cdot \vec{i}_z = 0$
 в любой точке z $\vec{E}(z, t) \perp$ оси Oz , т.е. \perp -ен Ox .

Найдем \vec{H}_m комплексного векторного поля

$$\vec{\text{rot}} \vec{E}_m = -j\omega \mu_0 \vec{H}_m$$

$$\vec{H}_m = \frac{j}{\omega \mu_0} \vec{\text{rot}} \vec{E}_m \quad (13)$$

$$\vec{\text{rot}} \vec{E}_m = \nabla \times \vec{E}_m = \begin{vmatrix} \vec{i}_x & \vec{i}_y & \vec{i}_z \\ \frac{\partial}{\partial x} & \frac{\partial}{\partial y} & \frac{\partial}{\partial z} \\ E_m e^{-\alpha z} & 0 & 0 \end{vmatrix} = -\vec{i}_y \left(-\frac{\partial E_m e^{-\alpha z}}{\partial z} \right)$$

$$= -j E_m e^{-\alpha z} \vec{i}_y$$

$$\vec{H}_m = -\frac{j}{\omega \mu_0} E_m e^{-\alpha z} \vec{i}_y$$

$$j^2 = -\omega^2 \epsilon_0 \mu_0 \quad (14)$$

$$j = -j\omega \sqrt{\epsilon_0 \mu_0}$$

$$\vec{H}_m = E_m e^{-\alpha z} \vec{i}_y, \text{ где}$$

$$\vec{H}_m = \frac{\vec{E}_m}{z_c} \quad (15)$$

$$z_c = \sqrt{\frac{\mu_0}{\epsilon_0}}$$

$$z_c \triangleq \frac{E_m}{H_m} \quad (16) - \text{волновое сопротивление среды}$$

В среде затухания, где проводимость $\neq 0$, волновое сопротивление ~~не~~ есть комплексной величиной.

(15) и (16) позволяет упростить решаемую задачу, т.к. из (16) \Rightarrow волновое сопротивление среды зависит только от электродинам. св-в среды (ϵ_0 и μ_0), т.е. для заданной среды эта величина и.б. заранее вычислена, поэтому, как следует из (15), не нужно решать задачу заново, надо лишь воспользоваться ф-лой (15).

Покажем, что $\vec{H}_m = H_m e^{-\gamma z} \vec{i}_y \quad (17)$

из (17) $\Rightarrow \vec{H}_m(z, t) \parallel \vec{i}_y$, т.е. в-р магнитного поля лежит в плоскости YOZ , т.е. магн. величина есть тоже линейно поляризованной.

$\vec{H}_m(z, t) \perp \vec{i}_z$, из (8) и (12) $\Rightarrow \vec{E}(z, t) \perp \vec{H}(z, t)$,

т.к. $\vec{E}(z, t) \cdot \vec{H}(z, t) = A_m (i_x \cdot i_y) = 0$

Рассмотрим поведение вектора Пойнтинга

Комплексной вектор Пойнтинга (в сфер. сечениях):

$$\vec{\Pi} \triangleq \frac{1}{2} \vec{E}_m \times \vec{H}_m^* \quad (18)$$

$$\vec{\Pi} = \frac{1}{2} \begin{vmatrix} i_x & i_y & i_z \\ E_m e^{-\gamma z} & 0 & 0 \\ 0 & \frac{E_m^*}{z_c^*} e^{\gamma z} & 0 \end{vmatrix} = \frac{1}{2} i_z \frac{|E_m|^2}{2 z_c^*} \quad (19)$$

из (19) $\Rightarrow \vec{\Pi} \parallel \vec{i}_z$. Вниме будет показано, что безразмер. часть имени в-ра Пойнтинга представляет собой среднюю мощность на период высокой частоты $T = 2\pi/\omega$

$$\vec{\Pi}_{cp} = \text{Re} \{ \vec{\Pi} \} = \frac{|E_m|^2}{2 \text{Re} z_c^*} \vec{i}_z \quad (20)$$

(20) $\Rightarrow \vec{\Pi}_{cp} \parallel \vec{i}_z \Leftrightarrow$ в случае плоской электромагн. волны в-р Пойнтинга направлен в направлении распространения волны.

Это же есть очевидным фактом и требует доказательства.

Рассмотрим частный случай:
 Э/м. поле в свободном пространстве

$\vec{B} = 0$; $\epsilon_a = \epsilon_0$, $\mu_a = \mu_0$ - э/м поле в свободн. пр-ве.

в этом случае

$\epsilon_a = \epsilon_0$, (21) $z_c = \sqrt{\frac{\mu_0}{\epsilon_0}} = 120\pi \approx 377 \text{ Ом}$ (имп. атмосферы)

т.е. в своб. пр-ве z_c - волнов. параметр.

из (8) и (15) \Rightarrow макс. и мин. поле наход. в фазе

а из (20) $\Rightarrow \vec{P}_{cp} = \frac{|E_m|^2}{2z_0} \vec{i}_z = \frac{|E_m|^2}{240\pi} \vec{i}_z$

$\left| \vec{P}_{cp} \right| = \frac{|E_m|^2}{240\pi}$ (22) - плотность потока мощности

Найдем фазовую скорость э/м. ~~волны~~ поля.

$v_{ф} = \frac{\omega}{\beta} = \frac{1}{\sqrt{\epsilon_0 \mu_0}} = c$; $\frac{1}{\sqrt{\epsilon_0 \mu_0}} = 3 \cdot 10^8 \text{ м/с}$ - фазов. скорость.
 (по данным таблицы $\epsilon_0 \mu_0 = 1/c^2$)

Зад. 11.

Вещная NS

$\mu_a = \mu_0$

$\epsilon_a = \epsilon_0$

$\vec{B} = 0$

$\vec{f} = j\omega \sqrt{\epsilon_0 \mu_0}$; $\vec{f} = j\omega \sqrt{\epsilon_0 \mu_0}$; $\vec{f} = \alpha + j\beta$

из (1) видно, что вещ. и мнимая

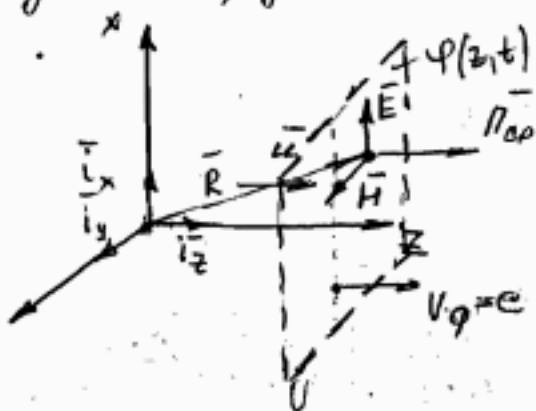
в своб. пр-ве соэф. распростран. вел. не \vec{f} (2) мериет.

$\beta = \omega \sqrt{\epsilon_0 \mu_0}$

д. $\alpha = 0$, т.к. реальных потерь отсутствует

$v_{ф} = \frac{\omega}{\beta} = \frac{1}{\sqrt{\epsilon_0 \mu_0}} = 3 \cdot 10^8 \text{ м/с} = c$ - скор. фазовая, скорость распростран. э/м. волны

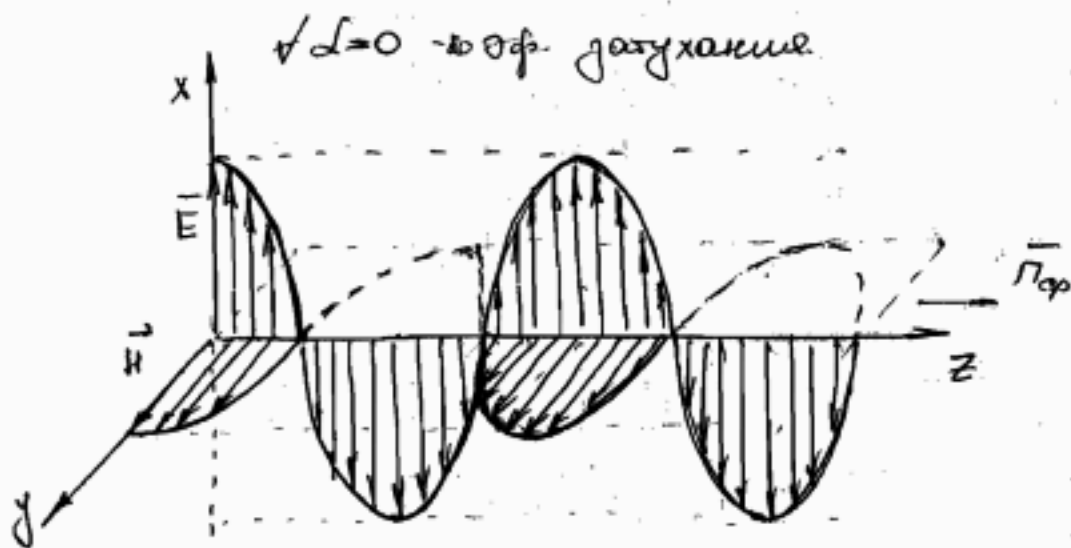
Полученные резултаты на лекции представим в граф. виде:



$\vec{E}(z,t) = E_{mx} e^{-\alpha z} \cos(\omega t - \beta z + \varphi_{0E}) \vec{i}_x$
 $\vec{H}(z,t) = \frac{E_{mx}}{Re z_c} e^{-\alpha z} \cos(\omega t - \beta z + \varphi_{0H}) \vec{i}_y$
 $\varphi_{0E} = \varphi_{0H}$; $\vec{P}_{cp} = \frac{E_{mx}^2}{2 Re z_c} \vec{i}_z$

$\varphi(z, t) = C \cdot \rho$ - эволюционная поверхность.

- Выводы:
1. На плоском хар-р. волна.
 2. В произв. (·) волн. фронте показано расположение \vec{E} , \vec{H} , $\vec{P}_{\text{ср}}$.
 3. В любой (·), произв. волн. фронте, значения \vec{E} , \vec{H} и $\vec{P}_{\text{ср}}$ одинаковы.
 4. Волновой фронт перем. с фазов. скоростью $V_{\text{ф}} = c$.
 5. $\frac{\partial E}{\partial x} = 0$, $\frac{\partial E}{\partial y} = 0$; $\frac{\partial H}{\partial x} = 0$, $\frac{\partial H}{\partial y} = 0$; -
частное произв. по поперечным координатам нулевое.
 6. $\vec{E} \parallel \vec{i}_x$; $\vec{H} \parallel \vec{i}_y \Rightarrow \neq$ с/м. волна линейно поляризованная.
 7. $\vec{P}_{\text{ср}} \parallel \vec{H}$.



Здесь отмечено
выбр. произв.
ной хар-р.
поле

Дифференциальные операторы
второго порядка

$\varphi = \varphi(\vec{R})$ - скалярное поле

$\vec{a} = \vec{a}(\vec{R})$ - векторное поле

$\vec{R} = (x, y, z)$

$\text{grad} \varphi = \text{вектор} = \nabla \varphi$

$\text{div} \vec{a} = \text{скаляр} = \nabla \cdot \vec{a}$

$\text{rot} \vec{a} = \text{вектор} = \nabla \times \vec{a}$

	grad φ	div \vec{a}	rot \vec{a}
grad	-	+	-
div	+	-	+
rot	+	-	+

"-" - операция не имеет смысла
 "+" - операция \exists

1. $\text{grad}(\text{div} \vec{a}) = \nabla(\nabla \cdot \vec{a})$ (с) Более неле скаляр
 не можем: операция существует

2. $\text{div}(\text{grad} \varphi) = \nabla \cdot (\nabla \varphi) = (\nabla \cdot \nabla) \varphi = \nabla^2 \varphi$

Доказать в координатной форме

3. $\text{div}(\text{rot} \vec{a}) = \nabla \cdot (\nabla \times \vec{a}) = 0$ (з) (как имели в-е, ~~скаляр~~ в одно в-е)

$$\nabla \times \vec{a} = \begin{vmatrix} i_x & i_y & i_z \\ \frac{\partial}{\partial x} & \frac{\partial}{\partial y} & \frac{\partial}{\partial z} \\ a_x & a_y & a_z \end{vmatrix} = i_x \left(\frac{\partial a_z}{\partial y} - \frac{\partial a_y}{\partial z} \right) -$$

$$i_y \left(\frac{\partial a_z}{\partial x} - \frac{\partial a_x}{\partial z} \right) +$$

$$i_z \left(\frac{\partial a_y}{\partial x} - \frac{\partial a_x}{\partial y} \right)$$

$$\nabla \cdot (\nabla \times \vec{a}) = \frac{\partial}{\partial x} \left(\frac{\partial a_z}{\partial y} - \frac{\partial a_y}{\partial z} \right) - \frac{\partial}{\partial y} \left(\frac{\partial a_z}{\partial x} - \frac{\partial a_x}{\partial z} \right) + \frac{\partial}{\partial z} \left(\frac{\partial a_y}{\partial x} - \frac{\partial a_x}{\partial y} \right) = 0$$

Это выполняется, если каждая из коор. функций дифференц. и непрерывно.

4. $\text{rot}(\text{grad} \varphi) = \nabla \times (\nabla \varphi) = (\nabla \times \nabla) \varphi = 0$

т.к. $\vec{a} \times \vec{a} = |\vec{a}|^2 \sin 0^\circ = 0$.

на линии скаляр в коор. форме.

5. $\text{rot}(\text{rot} \vec{a}) = \nabla \times (\nabla \times \vec{a})$, ранее показано.

в линии в коор. форме не вводить!

Поиск потенциального векторного поля.
Поиск потенциала

Пусть дано вект. поле $\vec{a} = \vec{a}(\vec{R})$, в нек. об-те Ω ,
 $\vec{R} \in \Omega$.

Поле называется потенциальным, если $\text{rot } \vec{a} = \vec{0}$,
 $\vec{0}$ - нулевой вектор.

В этом случае $\vec{a} = \text{grad } \varphi$ (\vec{a} м.в. представлено.)

$\varphi = \varphi(\vec{R}) = \varphi(x, y, z)$ - скалярный потенциал.

Об-ва $\varphi(\vec{R})$:

1. $\text{rot}(\text{grad } \varphi) = \vec{0}$

$$\nabla \times (\nabla \varphi) = (\nabla \times \nabla) \varphi = \vec{0}$$

2. неопределенность скалярного потенциала:

if $\vec{a} = \text{grad } \varphi$, тогда любой (10) $\tilde{\varphi} = \varphi + c$ - ~~то~~ скалярн.
потенциал. ($c = \text{const}$ по x, y, z)

т.е. скалярный потенциал определен с точностью до
константы

Сам потенциал не имеет физ. смысла, зато
разность потенциалов ~~или~~ хар-ется работой
на перемещение един. точечного заряда из одной
точки об-ва в другую.

(10) ~~необх.~~ условие. (10) - необх. и дост. услов.

Достаточность: $\vec{a} = \text{grad } \varphi$, $\tilde{\varphi} = \varphi + c$
Док-во: $\text{grad } \tilde{\varphi} = \vec{a}$

Док-во
 $\text{grad } \tilde{\varphi} = \text{grad}(\varphi + c) = \text{grad } \varphi + \text{grad } c = \text{grad } \varphi = \vec{a}$

Необходимость: $\vec{a} = \text{grad } \varphi$, $\vec{a} = \text{grad } \tilde{\varphi}$

Доказать: $\tilde{\varphi} = \varphi + c$

Док-во:

$$\text{grad } \tilde{\varphi} - \text{grad } \varphi = \text{grad}(\tilde{\varphi} - \varphi) = \vec{0}$$

т.е. $\frac{\partial}{\partial x}(\tilde{\varphi} - \varphi) \vec{i}_x + \frac{\partial}{\partial y}(\tilde{\varphi} - \varphi) \vec{i}_y + \frac{\partial}{\partial z}(\tilde{\varphi} - \varphi) \vec{i}_z = 0 \vec{i}_x + 0 \vec{i}_y + 0 \vec{i}_z$

Сравнивая: сравнив. коэфф, получаем:

$$\frac{\partial(\tilde{\varphi} - \varphi)}{\partial x} = 0$$

$$\frac{\partial(\tilde{\varphi} - \varphi)}{\partial y} = 0$$

$$\frac{\partial(\tilde{\varphi} - \varphi)}{\partial z} = 0$$

$$\text{т.о. } \begin{cases} \tilde{\varphi} - \varphi = \text{const}_x \\ \tilde{\varphi} - \varphi = \text{const}_y \\ \tilde{\varphi} - \varphi = \text{const}_z \end{cases} \Rightarrow \tilde{\varphi} - \varphi = \text{const}_{x,y,z} = C. \\ \tilde{\varphi} = \varphi + C.$$

Ирротируем поле условием $\text{rot } \bar{a} = 0$, едв. условие:

$\oint_L \bar{a} \cdot d\bar{l} = 0$ - циркуляция по замкнутой контуре, работа по замкнутой контуре.

$$\int_{S_x} \text{rot } \bar{a} \cdot d\bar{s} = \oint_L \bar{a} \cdot d\bar{l} = 0.$$

т.к. $\text{rot } \bar{a} = 0$, то поле можно безвихревым.

Найти потенциал поля.
Найти векторный потенциал.

$$\bar{a} = \bar{a}(\bar{r}) \quad \bar{r} \in \Omega.$$

Вект. поле \bar{a} можно соленоидалное, если $\text{div } \bar{a} = 0 \quad \forall \bar{r} \in \Omega$.
Соленоидальное поле - поле без источников внутри Ω электр. заряда и виртуального магнитного поля.

В ~~этом~~ этом случае можно $\bar{a} = \text{rot } \bar{b}$, \bar{b} - векторный потенциал.

Векторный потенциал рассматриваем как инерту-ментальное средство для упрощения решения задач.

Векторный потенциал связан с векторным потенциалом,
т.е. $\bar{a} = \text{rot } \bar{b} \Rightarrow \bar{b}^* = \bar{b} + \text{grad } \varphi$ (13),
 φ - произвольное скалярное поле.

(13) едв. необход. и достаточн. условие соленоид. поле.

Достаточность. $\bar{a} = \text{rot } \bar{b}$, $\bar{b}^* = \bar{b} + \text{grad } \varphi$.

Док-ть $\bar{a} = \text{rot } \bar{b}^*$

Док-во $\text{rot } \bar{b}^* = \text{rot}(\bar{b} + \text{grad } \varphi) = \text{rot } \bar{b} + \text{rot}(\text{grad } \varphi) = \text{rot } \bar{b} = \bar{a}$

Необходимость: $\bar{a} = \text{rot } \bar{b}$ $a = \text{rot } \bar{b}^*$

Док-тво: $\bar{b}^* = \bar{b} + \text{grad } \varphi$

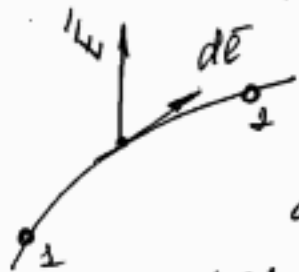
Док-во: $\bar{a} - \bar{a} = \text{rot } \bar{b} - \text{rot } \bar{b}^* = \text{rot}(\bar{b}^* - \bar{b}) = 0$

$\bar{b}^* - \bar{b}$ - потенциальное поле $\Rightarrow \bar{b}^* - \bar{b} = \text{grad } \varphi \Rightarrow$

$\Rightarrow \bar{b}^* = \bar{b} + \text{grad } \varphi$

Докажем, что если \bar{E} - статическое поле, то $(\text{rot } \bar{E}) = -\text{grad } \varphi$

поле статическое, то $\text{rot } \bar{E} = 0$ (15)



интересует работа на перемещении заряда q из (1) в (2):

A' - работа по перемещению заряда

$dA' = \bar{E} \cdot d\bar{l} \Rightarrow$ на век-нуя заб. работы вышес только касат. составляющая.

$$A' = \int_1^2 dA' = \int_1^2 \bar{E} \cdot d\bar{l}; \text{ будем считать, что } \bar{E} = -\text{grad } \varphi$$

$$= \int_1^2 -\text{grad } \varphi \cdot d\bar{l} \quad d\bar{l} = d\vec{r} = (dx, dy, dz)$$

$$d\varphi(x, y, z) = \frac{\partial \varphi}{\partial x} dx + \frac{\partial \varphi}{\partial y} dy + \frac{\partial \varphi}{\partial z} dz = \text{grad } \varphi \cdot d\vec{r}$$

- полной дифференциал φ - функции 3-х пере-
менных.

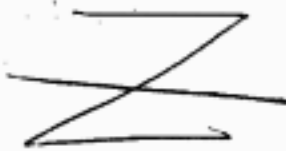
$$\Rightarrow \int_1^2 d\varphi = -\varphi \Big|_1^2 = \varphi(1) - \varphi(2) > 0, \text{ так } A' > 0 \Rightarrow$$

$$\Rightarrow \varphi(1) > \varphi(2)$$

$$A' = \varphi(1) - \varphi(2)$$

- физический смысл разности потенциалов. \bar{E} направл. в сторону убывания потенциала, чтобы работа была положительной

это так каков. однородное поле.



Поле излучения (вынужденное поле).

$$(I) \operatorname{rot} \vec{H}_m = j\omega \epsilon_0 \vec{E}_m + \vec{j}_{m, \text{ср}}$$

$$(II) \operatorname{rot} \vec{E}_m = -j\omega \mu_0 \vec{H}_m$$

$$(III) \operatorname{div} \vec{B}_m = 0$$

Сторонние токи в теории антенн называются токами возбуждения. Именно они являются источниками поля, возбуждаемого антенной переизлучения.

т.к. $\vec{B}_m = \mu_0 \vec{H}_m$, то возможно переписать (III):

$$\operatorname{div} \vec{H}_m = 0 \quad \text{т.е. поле } \vec{H}_m \text{ является соленоидальным.}$$

Поэтому: $\vec{H}_m = \operatorname{rot} \vec{A}_m$ (1)

где \vec{A}_m - векторный потенциал ^{21 - этого} ~~векторного~~ поля.

$$\vec{H}_m = \vec{H}_m(\vec{R}), \quad \vec{R} = (x, y, z)$$
$$\vec{E}_m = \vec{E}_m(\vec{R}), \quad \vec{j}_{m, \text{ср}} = \vec{j}_{m, \text{ср}}(\vec{R})$$

(1) \rightarrow (II):

$$\operatorname{rot} \operatorname{rot} \vec{E}_m = -j\omega \mu_0 \operatorname{rot} \vec{A}_m$$

$$\operatorname{rot} \operatorname{rot} (\vec{E}_m + j\omega \mu_0 \vec{A}_m) = 0 \quad (2)$$

т.е. поле $(\vec{E}_m + j\omega \mu_0 \vec{A}_m)$ является потенциальным полем.

Следовательно:

$$(\vec{E}_m + j\omega \mu_0 \vec{A}_m) = -\operatorname{grad} \dot{\varphi}_m(\vec{R}); \quad \dot{\varphi}_m = \dot{\varphi}_m(\vec{R})$$

Значит, " ", поставив для него, чтобы это $\dot{\varphi}_m$ - е имел универсальный x - y .

Из $\dot{\varphi}_m$ по (3):

$$\vec{E}_m = -j\omega \mu_0 \vec{A}_m - \operatorname{grad} \dot{\varphi}_m \quad (4) \quad \text{т.е. уравнение поставлено}$$

намеренно решаемой задачи на $\dot{\varphi}_m$ и \vec{A}_m , т.к.:

$$\left. \begin{aligned} \vec{E}_m &= E_{mx} \vec{i}_x + E_{my} \vec{i}_y + E_{mz} \vec{i}_z \\ \vec{H}_m &= H_{mx} \vec{i}_x + H_{my} \vec{i}_y + H_{mz} \vec{i}_z \\ \vec{A}_m &= A_{mx} \vec{i}_x + A_{my} \vec{i}_y + A_{mz} \vec{i}_z \\ \dot{\varphi}_m & \end{aligned} \right\} \begin{array}{l} 6 \text{ комп.} \\ \text{амплитуд;} \\ \\ 4 \text{ комп.} \\ \text{амплитуды.} \end{array}$$

Подставим (1), (4) в (5) и (2):

$$\text{rot rot } \vec{A}_m - j\omega \epsilon_0 (-j\omega \mu_0 \vec{A}_m - \text{grad } \dot{\varphi}_m) = \vec{j}_{m, \text{св}}$$

$$\begin{aligned} \text{rot rot } \vec{A}_m &= \nabla \times (\nabla \times \vec{A}_m) = \begin{vmatrix} \nabla & \vec{A}_m \\ \nabla \cdot \nabla & \nabla \cdot \vec{A}_m \end{vmatrix} = \nabla(\nabla \cdot \vec{A}_m) - \nabla^2 \vec{A}_m = \\ &= \text{grad div } \vec{A}_m - \nabla^2 \vec{A}_m \end{aligned}$$

$$\text{Тогда: } \text{grad div } \vec{A}_m - \nabla^2 \vec{A}_m - j\omega^2 \epsilon_0 \mu_0 \vec{A}_m + j\omega \epsilon_0 \text{grad } \dot{\varphi}_m = \vec{j}_{m, \text{св}} \quad (5)$$

Векторную и скалярную потенциальную обладают в. Волн неоднородности. Но их пер на них ограничена не накладывались.

Теперь потребуем, что бы:

$$\text{grad div } \vec{A}_m + j\omega \epsilon_0 \text{grad } \dot{\varphi}_m = 0 \quad (6) \quad \begin{array}{l} \text{используем из} \\ \text{в-10 (6)} \end{array}$$

Тогда из (5) имеем так:

$$-\nabla^2 \vec{A}_m + j^2 \vec{A}_m = \vec{j}_{m, \text{св}}$$

$$\nabla^2 \vec{A}_m - j^2 \vec{A}_m = -\vec{j}_{m, \text{св}} \quad (7) \quad \begin{array}{l} \text{Волновое уравнение Даламбера} \\ \text{Исходное уравнение Гельмгольца.} \end{array}$$

Здесь уравнение Гельмгольца относится к векторному потенциалу \vec{A}_m .

Если удастся решить уравнение (7), то возможно найти через уравнение (1), (4) векторы \vec{E}_m и \vec{H}_m .

(Связанное (6) называется условием Лоренца (кельмбровское соотношение)).

$$\text{grad} (\text{div} \vec{A}_m + j\omega \epsilon_0 \varphi_m) = 0, \text{ r.e.}$$

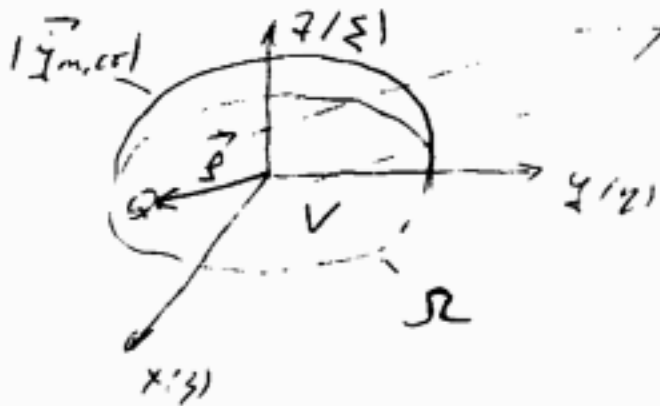
$$\text{div} \vec{A}_m + j\omega \epsilon_0 \varphi_m = 0 \quad (8)$$

$$\Rightarrow \varphi_m = -\frac{1}{j\omega \epsilon_0} \text{div} \vec{A}_m \quad (8)$$

r.e. используя 6-мерную формулу для 5-мерной формы скалярного вектора \vec{A}_m .

$$\vec{E}_m = -j\omega \mu_0 \vec{A}_m - \frac{1}{\omega \epsilon_0} \text{grad} \text{div} \vec{A}_m \quad (9)$$

Из (8) видно, что \vec{A}_m удовлетворяет уравнению Лапласа в области Ω , с источниками \vec{J}_m , т.е.



$P(\vec{R})$

Апертура антенной системы:

$$\Omega = \{ \vec{P} : \vec{J}_m(\vec{P}) \neq 0 \}$$

$\vec{R} = (x, y, z)$, $\vec{P} = (\xi, \eta, \zeta)$ - точка антенны.
 т.к. свободная зона.

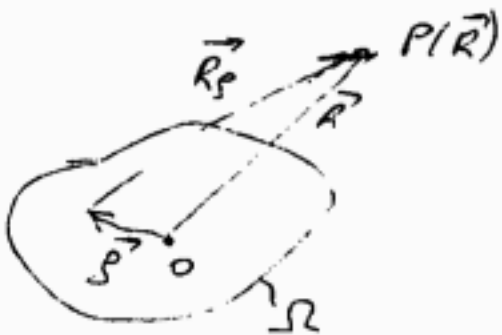
Апертура - область возбуждения (область с токами сторонних токов).

Можно показать, что:

$$\vec{A}_m(\vec{R}) = \frac{1}{4\pi} \int_V \vec{J}_m(\vec{P}) \frac{e^{-j|\vec{R}-\vec{P}|}}{|\vec{R}-\vec{P}|} dV \quad (10)$$

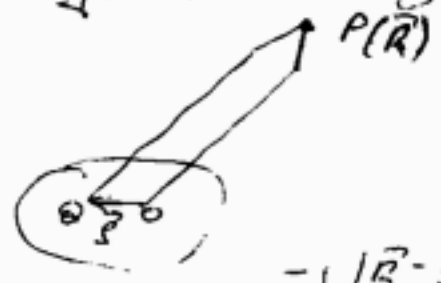
- решение уравнения Даламбера (9).

Здесь предполагается, что антенна не плоская, а может быть объемная.



$$\vec{R}_s = \vec{R} - \vec{P}$$

В галактической зоне; $\vec{R}_S \parallel \vec{R}$

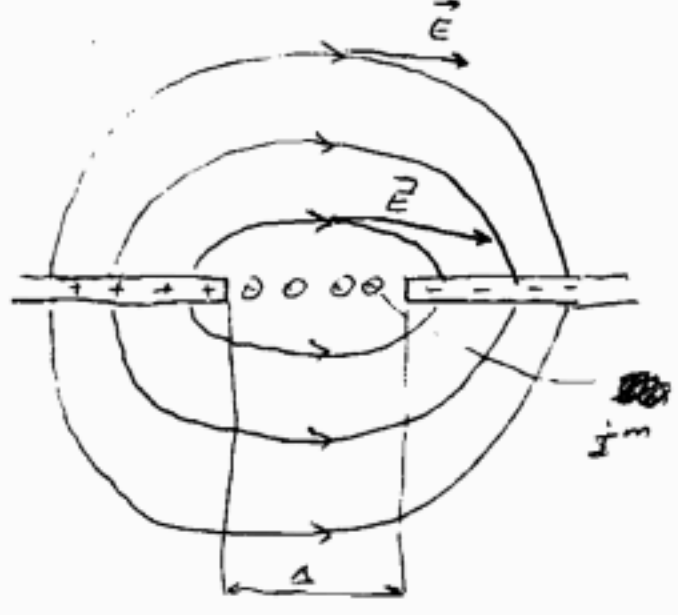
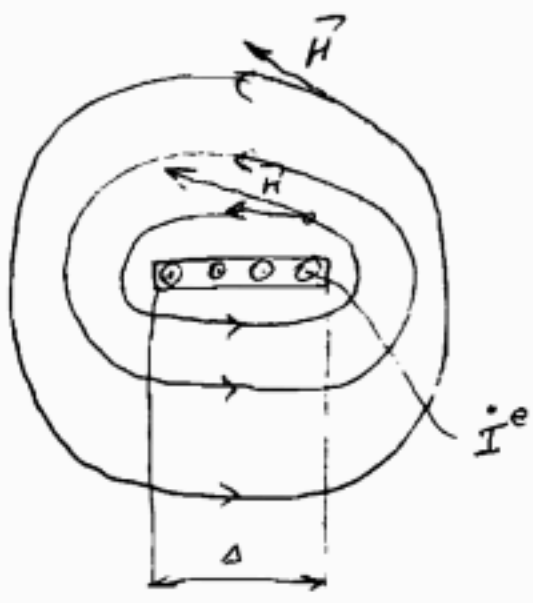


Тогда:
$$\frac{e^{-j|\vec{R}-\vec{S}|}}{|\vec{R}-\vec{S}|} = \frac{e^{-jR_p}}{R_p} (15)$$
 Это поле имеет вид, с центром в S - не O , а радиусом равно R_S .

Тогда радиус r -ча $O(10)$ - радиус сферы с центром S и минимума I_m в S .

След-но, векторной полей $\vec{A}_m(\vec{R})$ в S - не O представляет собой сферическую волну, с центром в S - не O , а в точ-во минимума I_m в S - не O .

Показание виртуального магнитного тока



Показание виртуального магнитного тока, показывающая поле \vec{H} и ток I^e . Поле \vec{H} определяется по правилу Бурдана. На расстоянии r от центра сечения ток I^e определяется по окружности.

Показание виртуального магнитного тока, показывающее поле \vec{E} и ток I^m . Поле \vec{E} определяется по правилу Бурдана. На расстоянии r от центра сечения ток I^m определяется по окружности.

Граничные условия позволяют ввести потенциал
векторного магнитного поля.

Т.е. поле \vec{E} создается магнитным током, также
как поле \vec{H} создается током \vec{j} .

Рассм. \vec{E} и \vec{H} ур-я Максвелла:

Предположим, что $\vec{j}_{m,cs} = 0$, тогда:

$$(I) \quad \text{rot } \vec{H}_m - j\omega \epsilon_0 \vec{E}_m = \vec{0}$$

$$(II) \quad \text{rot } \vec{E}_m + j\omega \mu_0 \vec{H}_m = \vec{0}$$

(I) и (II) ур-я являются симметричными, т.е.
одно получается из другого подстановкой: $\vec{H}_m \leftrightarrow \vec{E}_m$,
 $\epsilon_0 \leftrightarrow -\mu_0$

В общем случае $\vec{j}_{m,cs} \neq 0$, тогда:

$$(I) \quad \text{rot } \vec{H}_m - j\omega \epsilon_0 \vec{E}_m = \vec{j}_{m,cs}$$

$$(II) \quad \text{rot } \vec{E}_m + j\omega \mu_0 \vec{H}_m = -\vec{j}_{m,cs}$$

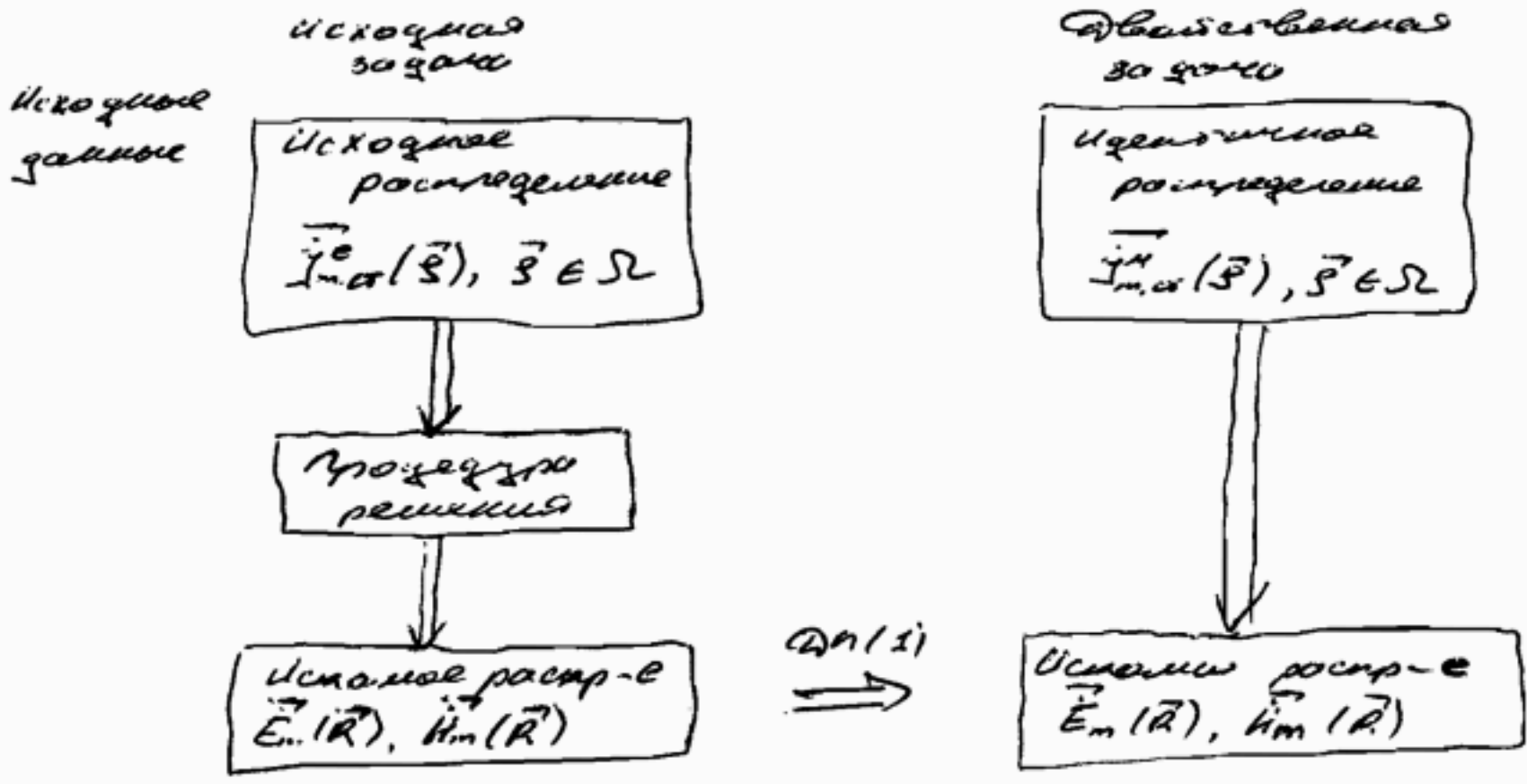
Существование $\vec{j}_{m,cs}$ не существует (из (II): $\text{div } \vec{E}_m = 0$).

Если же эти ур-я также симметричны с добав-
лением подстановки: $\vec{j}_{m,cs} \leftrightarrow -\vec{j}_{m,cs}$. (I)

Ввод граничного поля позволяет получить
вычислительные формулы при расчете само-
торных видов антенн (цилевые, волноводно-цил-
евые).

Также справедливы подстановки: $\vec{A}_m^e \leftrightarrow \vec{A}_m^h$ (I)

Применяя преобразования двойственности,



ΩR - двойственные постановки.

В общем случае: $\vec{E}_m(\vec{R}) = \mathcal{E} \{ \vec{j}_{m,c}^e(\vec{r}) \}$

$\vec{H}_m(\vec{R}) = \mathcal{H} \{ \vec{j}_{m,c}^e(\vec{r}) \}$

\mathcal{E}, \mathcal{H} - линейно-дифференциальные операторы.

При решении двойственной задачи опускается процедура решения, а для получения решения составляется ΩR в форме подготовленная запись:

$\vec{H}_m(\vec{R}) = \mathcal{E} \{ -\vec{j}_{m,c}^H(\vec{r}) \}$

$\vec{E}_m(\vec{R}) = \mathcal{H} \{ -\vec{j}_{m,c}^H(\vec{r}) \}$.

Методом возмущения полем изучается в случае электрических и магнитных токов.

(I) $\omega \in \vec{H}_m - j\omega \epsilon_0 \vec{E}_m = \vec{j}_{m,c}^e$

(II) $\omega \in \vec{E}_m + j\omega \mu_0 \vec{H}_m = -\vec{j}_{m,c}^H$

Используем формулы:

$$\left. \begin{aligned} \vec{E}_m &= -j\omega \vec{A}_m^e + \frac{1}{j\omega \epsilon_0} \text{grad div } \vec{A}_m^e - \text{rot } \vec{A}_m^m \\ \vec{H}_m &= -j\omega \epsilon_0 \vec{A}_m^m + \frac{1}{j\omega \mu_0} \text{grad div } \vec{A}_m^m + \text{rot } \vec{A}_m^e \end{aligned} \right\} (2)$$

Данные ур-я по условию зада в неоднородные ур-я Гельмгольца (5, 8) и производят удобства. зованим, по подобие ур-я наппим одного векторного потенциалов. В результате получим:

$$\left. \begin{aligned} \Delta^2 \vec{A}_m^e - \chi^2 \vec{A}_m^e &= -\vec{J}_m^e, \text{с} \\ \Delta^2 \vec{A}_m^m - \chi^2 \vec{A}_m^m &= -\vec{J}_m^m, \text{с} \end{aligned} \right\} (3), \quad \chi^2 = \epsilon_0 \mu_0 \omega^2 - \Delta^2 \epsilon_0 \mu_0$$

Решение данных г.у. имеем вид

$$\vec{A}_m^{e,m} = \frac{1}{4\pi} \int_V \vec{J}_m^{e,m}(\vec{r}') \frac{e^{-j\chi(R-\vec{r}')}}{(R-\vec{r}')} dV \quad (4)$$

$$\text{где } \beta_{cp} = \frac{\omega}{V_{cp}} = \frac{2\pi}{\lambda_{cp}} \quad (5)$$

$$V_{cp} = \frac{1}{\sqrt{\epsilon_0 \mu_0}} \quad (6), \quad \text{где } \epsilon_0 - \text{абсолютная диэлектрич. проницаемость.}$$

В свободном у-ве: $V_{cp} = \frac{1}{\sqrt{\epsilon_0 \mu_0}} = c = 3 \cdot 10^8 \text{ м/с.}$

\vec{E}_m и \vec{H}_m находим по условиям (4) в (2).
Ур-я (2) как решаем задачи (3) соотв. наппим общую формулу, когда каждая с п-ми токками имеются три взаимные магнитные токи.

В общем виде (4) полное решение получим сложное. поэтому все ур-ва разбиваем на 3 зоны по мере удаления от антенны (ближнюю, промежуточную, дальнюю).
Задача решается раздельно для каждой из зон
Дальняя - зона Френеля
Промежут. - зона Френеля.

Рассмотрим галактику.

Векторы заданы так:

$$\vec{R}_S = \vec{R} - \vec{P} \quad \vec{R} = (R, \theta, \varphi)$$

$$\theta = \theta(\vec{P}) \quad \vec{P} = (P, \chi, \xi)$$

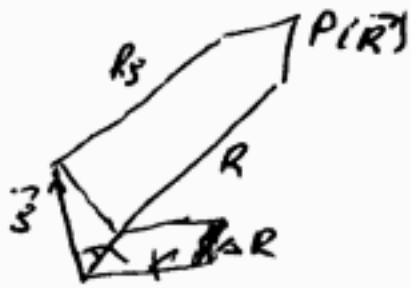

Тогда $\vec{r} = r(\chi)$ принимаем вид:

$$\vec{A}_m^{e,u}(\vec{R}) = \vec{A}_m^{e,u}(R, \theta, \varphi) = \frac{1}{4\pi} \frac{e^{-i\beta R}}{R} \int_{V(S)} \vec{J}_m^{e,u}(\vec{P}) e^{-i\beta P \cos \chi} dV \quad (9)$$

$$\vec{A}_m^{e,u}(\vec{R}) = \frac{1}{4\pi} \int_{\Omega} \vec{J}_m^{e,u}(\vec{P}) \frac{e^{-i\beta R_S}}{R_S} dV \quad (5')$$

Заметим в (5') R_S в знаменателе на R (так $R_S \approx R \gg P$) в числителе так же можно положить, т.к. мы берем в состав аргумента экспоненты, которое имеет порядок βP .

$$R_S = R - (\vec{P} \cdot \vec{u}), \quad \vec{u} = \frac{\vec{R}}{R}$$



$$\vec{P} \cdot \vec{u} = p u \cos \chi = p \cos \chi \quad (12)$$

$$\Delta R = R_S - R \quad (13)$$

$$\text{Взяв } \Delta R = -p \cos \chi \quad (14)$$

$\vec{r} = r(\chi)$ соответствующим образом, когда

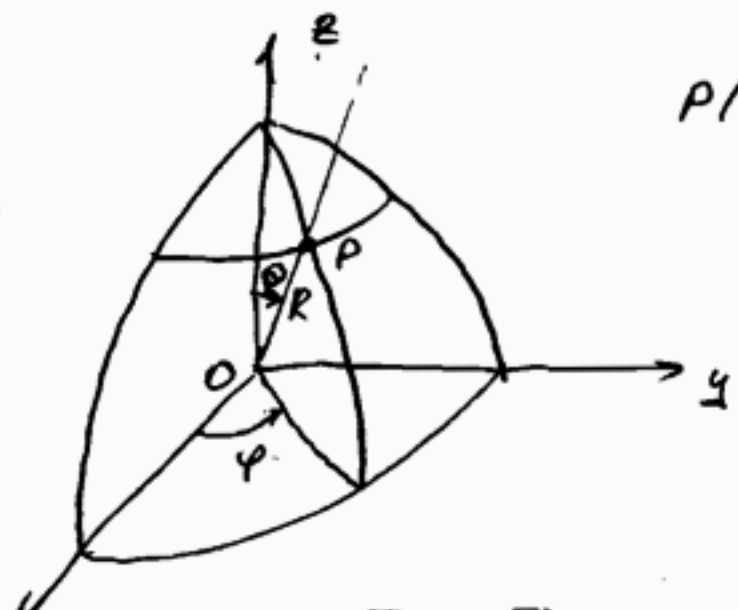
$\vec{R} \parallel \vec{R}_S$ - ~~равно~~ приближение Фрэнкелера.

Потенциал, вычисленный по $\vec{r} = r(\chi)$ будем обозначать $\vec{A}_m^{e,u}(\vec{R})$, т.е. т-ка наблюдателя находится в бесконечности относительно - по электронам.

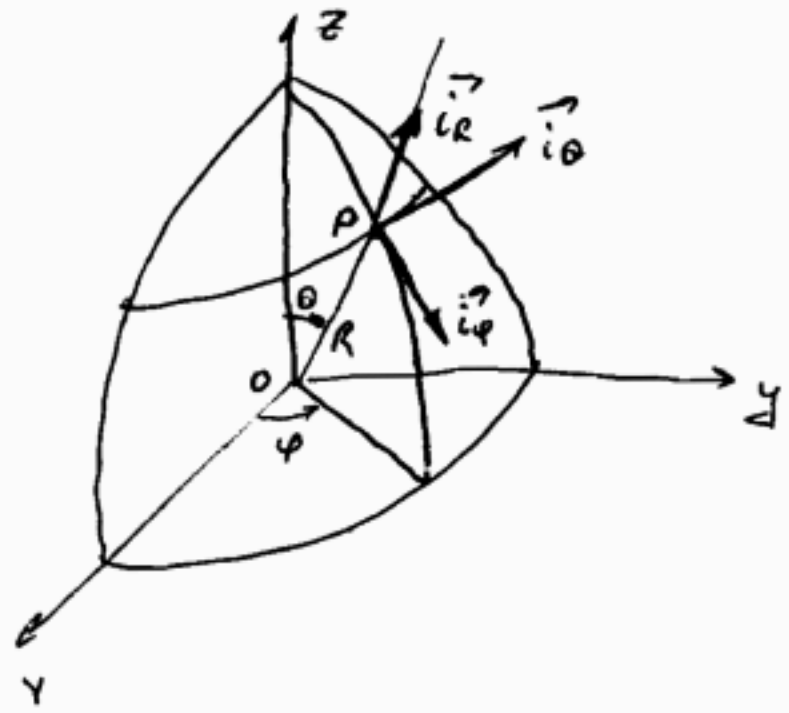
Замечание.

Каждый потенциал имеет свою зависимость в векторном поле:

$$\vec{A}_m = A_{mR} \vec{u}_R + A_{m\theta} \vec{u}_\theta + A_{m\varphi} \vec{u}_\varphi$$



$P(R, \theta, \varphi)$



$|\vec{i}_R| = |\vec{i}_\varphi| = |\vec{i}_\theta| = 1$
 $\vec{i}_R \perp \vec{i}_\varphi; \vec{i}_R \perp \vec{i}_\theta; \vec{i}_\varphi \perp \vec{i}_\theta$ (16)

$\dot{E}_{m\theta} = -j\beta c (A_{m\theta}^e \dot{z}_c - A_{m\varphi}^m)$
 $\dot{E}_{m\varphi} = -j\beta c (A_{m\varphi}^e \dot{z}_c - A_{m\theta}^m)$
 $\dot{E}_{mR} = 0$

$\dot{H}_{m\varphi} = \frac{\dot{E}_{m\theta}}{z_c}$
 $\dot{H}_{m\theta} = -\frac{\dot{E}_{m\varphi}}{z_c}$
 $\dot{H}_{mR} = 0$ (17)

$\dot{z}_c = \sqrt{\frac{\mu_0}{\epsilon_0}}$

Раздвинувшая содействующая обеих векторов равна нулю.

$\vec{E}_m = \dot{E}_{mR} \vec{i}_R + \dot{E}_{m\theta} \vec{i}_\theta + \dot{E}_{m\varphi} \vec{i}_\varphi$ (3); $\vec{E}_m = E_m(\vec{R})$;
 $\vec{R} = (R, \theta, \varphi)$.

В данной зоне:

$\vec{E}_m = \dot{E}_{m\theta} \vec{i}_\theta + \dot{E}_{m\varphi} \vec{i}_\varphi$ (4)

$A_{m\theta}^{e,m}(R, \theta, \varphi) = A_{m\theta}(\theta, \varphi) \cdot \frac{e^{-j\beta R}}{R}$ (5)

где $A_{m\theta}(\theta, \varphi) = \frac{1}{4\pi} \int_{V(\Omega)} \dot{J}_{m,cs}(\vec{r}') e^{j\beta R \cos \psi} dV$; $\vec{r}' = (r', \theta', \varphi')$.

Здесь в первом виде: $\psi = \psi(\theta, \varphi)$.

Это интеграл в Ω не зависит от R, поэтому укажем разделение пространства и укажем координаты.

т.е. из (5) векторной γ -линии и магнитной
потенциал в Ω_3 имеет характер сферических
волн, и каждая из их координат имеет
характер сферических волн!

Функция направления по полю.

Комплекс. векторная амплитуда γ -ного поля в
 Ω_3 описывается γ - лоб (6).

$$\vec{E}_m(r, \theta, \varphi) = \dot{E}_m(\theta, \varphi) \frac{e^{-i\beta r}}{r} (1) + \dot{E}_m\varphi(\theta, \varphi) \frac{e^{-i\beta r}}{r} i\varphi \quad (7)$$

т.е. каждая из координат обратна по полю R
в первой степени.

Рассм. одну из коорд, например:

$\dot{E}_m(\theta, \varphi)$ - она χ -здесь зависимость составляю-
щей θ от направления θ, φ , т.е. она χ -здесь
угловое распр-е комплексной амплитуды содей-
ствующей θ и φ .

В теории антенн большое значение имеет γ -ная
направленность по полю:

$$F_\theta(\theta, \varphi) = \frac{\dot{E}_m(\theta, \varphi)}{|\dot{E}_m(\theta_1, \varphi_1)|} \quad (8)$$

где $(\theta_1, \varphi_1) = \arg \max_{(\theta, \varphi)} |\dot{E}_m(\theta, \varphi)|$ (9) - χ -здесь макси-
мальное излучение по
координате θ .

Из (8) следует, что: $0 \leq |F_\theta(\theta, \varphi)| \leq 1$ - χ -здесь
нормированное распр-е величин $\dot{E}_m(\theta, \varphi)$.

Аналогично определяется γ -ная напр-ен по
составляющей φ :

$$F_\varphi(\theta, \varphi) = \frac{\dot{E}_m\varphi(\theta, \varphi)}{|\dot{E}_m\varphi(\theta_2, \varphi_2)|} \quad (10), \quad (\theta_2, \varphi_2) = \arg \max_{(\theta, \varphi)} |\dot{E}_m\varphi(\theta, \varphi)| \quad (11)$$

т.е. в дальней зоне \vec{r} -ное поле χ -се имеет комплексный \vec{r} -узел направленности:
 $F_0(\theta, \varphi), F_\varphi(\theta, \varphi)$ - по составляющим θ и φ .

Введем такое гребню \vec{r} -узел направ-сти по начо

$$|F(\theta, \varphi)| = F(\theta, \varphi) \approx \frac{|E_m(\theta, \varphi)|}{|E_m(\theta_0, \varphi_0)|} \quad (14)$$

$$(\theta_0, \varphi_0) = \text{arg max}_{\theta, \varphi} |E_m(\theta, \varphi)|$$

В общем случае макс. e (θ_0, φ_0) отличается от макс-й (θ_1, φ_1) и (θ_2, φ_2) .

$$E_m(\theta, \varphi) = \sqrt{E_{m\theta}^2(\theta, \varphi) + E_{m\varphi}^2(\theta, \varphi)}$$

Св-ва поля излучения в дальней зоне.

1. Поперечный характер поля излучения.

Радиальная составляющая поля в дальней зоне для любой излучающей системы равна нулю. Это следует из системы (17).

Докажем это путем следов:

$$(E_m, \vec{r}) = (E_{m\theta} \vec{e}_\theta + E_{m\varphi} \vec{e}_\varphi, \vec{r}) = E_{m\theta} (\vec{e}_\theta, \vec{r}) + E_{m\varphi} (\vec{e}_\varphi, \vec{r}) = 0,$$

$$\text{значит } E_m \perp \vec{r} \quad (\vec{E}(\vec{r}, t) \perp \vec{r})$$

- т.е. вектор $\vec{E}(\vec{r}, t)$ лежит в π -пл, перпендикулярной оси \vec{r} .

2. \vec{r} -ное поле в дальней зоне в общем случае представляет собой эллиптически поляризованную волну.

Полное гом-во будет дано в след. параграфе

Из \vec{r} -ны (3): $E_{m\theta} \vec{e}_\theta \parallel \vec{e}_\theta$ и представляет собой линейно поляризованную волну.

Аналогично $\dot{E}_{m\varphi} \vec{i}_\varphi \parallel \vec{i}_\varphi$ для моды (θ, φ) и t - линейно поляризов. волна

Т.е. в правой части (3) - суперпозиция двух линейно поляризов. волн.

$$\text{Но: } \dot{E}_{m\theta} = |\dot{E}_{m\theta}| e^{-i\varphi_0}$$

$$\dot{E}_{m\varphi} = |\dot{E}_{m\varphi}| e^{-i\varphi_0}$$

В общем случае соотношение указанных двух φ_0, φ_0 может быть произвольным, что означает, что вектор $\vec{E}(\vec{R}, t)$ - физич. поле - с течением времени будет описываться спиралью на цилиндрической поверхности.

При этом проекция этого вектора на xy -пл. перпендикулярную оси z в плоск. $\tau = \frac{R}{c}$ будет описываться одной локальной спиралью на плоскости.

Поэтому при этом вектор по направлению xy -пл. ось z вращается вокруг z -оси.

3. 2-модовая волна является локально плоской

Рассм. 1-ю строну системы (17)

$$\dot{H}_{m\varphi} = \frac{\dot{E}_{m\theta}}{Z_c}$$

$$\dot{H}_{m\theta} = -\frac{\dot{E}_{m\varphi}}{Z_c}$$

Тогда: $Z_c = \frac{\dot{E}_{m\theta}}{\dot{H}_{m\varphi}} = -\frac{\dot{E}_{m\varphi}}{\dot{H}_{m\theta}}$ (15) - это условие свойственно плоской волне.

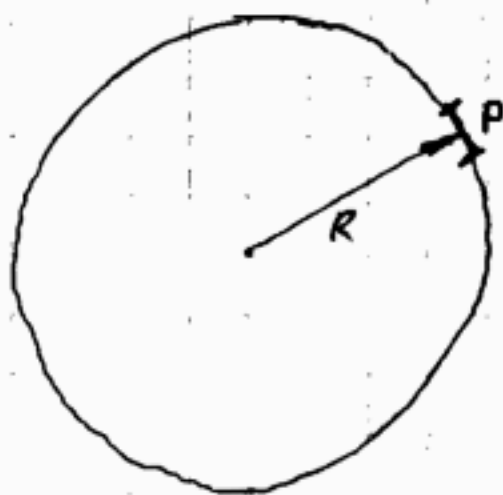
4. 2-модовая волна в дальней зоне в целом является сферической.

$$\text{Т.к. } \dot{E}_{m\theta} \sim \dot{E}_{m\theta}(\theta, \varphi) e^{-iBR/R}$$

$$\dot{E}_{m\varphi} \sim \dot{E}_{m\varphi}(\theta, \varphi) \frac{e^{-iBR}}{R}$$

То $\vec{E}_m \sim \vec{E}_m(\theta, \varphi) \frac{e^{-iBR}}{R}$ - физическая сферическая волна.

У3 с6-6 3и4:



$$R \gg r_{max}$$

т.е. в э3 с шарической волной в окрестности т-ми р апроксимируется плоской волной.

5. Ампл. \vec{F} -ция направленности по полю (и по мощности) в дальней зоне не зависит от расстояния.

$$|\dot{F}_\theta| = \frac{E_{m\theta}(R, \theta, \varphi)}{E_{m\theta}(R, \theta_s, \varphi_s)} = \frac{E_{m\theta}(\theta, \varphi) \cdot \frac{1}{R}}{E_{m\theta}(\theta_s, \varphi_s) \cdot \frac{1}{R}} = \frac{E_{m\theta}(\theta, \varphi)}{E_{m\theta}(\theta_s, \varphi_s)}$$

Аналогично для $|\dot{F}_\varphi(\theta, \varphi)|$

$$|\dot{F}(\theta, \varphi)| = \frac{E_m(R, \theta, \varphi)}{E_m(R, \theta_0, \varphi_0)} = \frac{E_m(\theta, \varphi)}{E_m(\theta_0, \varphi_0)}$$

6. Комплексный вектор Пойнтинга в дальней зоне является вектором (в свободном пр-ве).

$$\vec{P} = \frac{1}{2} \vec{E}_m \times \vec{H}_m^* \quad (16) \quad \text{т.к. орды ортогональны, то возможно использовать векторную}$$

$$\vec{P} = \frac{1}{2} \begin{vmatrix} \vec{e}_R & \vec{e}_\theta & \vec{e}_\varphi \\ 0 & E_{m\theta} & E_{m\varphi} \\ 0 & + \frac{E_{m\theta}^*}{Z_0^*} & \frac{E_{m\varphi}^*}{Z_0^*} \end{vmatrix} = \frac{1}{2} \begin{vmatrix} \vec{e}_R & \vec{e}_\theta & \vec{e}_\varphi \\ 0 & E_{m\theta} & E_{m\varphi} \\ 0 & -\frac{E_{m\varphi}^*}{Z_0^*} & \frac{E_{m\theta}^*}{Z_0^*} \end{vmatrix} =$$

$$= \frac{1}{2 Z_0^*} \vec{e}_R (E_{m\theta} E_{m\theta}^* + E_{m\varphi} E_{m\varphi}^*) = \frac{1}{2 Z_0^*} \vec{e}_R (E_{m\theta}^2 + E_{m\varphi}^2)$$

$$\vec{P} = \frac{E_m^2}{2 Z_0^*} \vec{e}_R \quad (17) \quad \text{В общем случае он не является вектором.}$$

$$z_c = \sqrt{\frac{\mu_0}{\epsilon_0}}$$

вывод пр-ва: $\mu_0 = \mu_0$, $\epsilon_0 = \epsilon_0$, $\sigma = 0$

Лекция 14.11. (далее идут лекции Чекушкиной)

Косинус вектор $\vec{\Pi}$ в свободном пр-ве
и вы-се этого вычисляется.

В общем случае, как следует из (14) от
не вы-се вычисл. т.к. волновое сопротивление
в продоль среде вы-се вычисл.

$$z_c = \sqrt{\frac{\mu_0}{\epsilon_0}}$$

в $\mu_0 = \mu_0$
 $\vec{b} = 0$
 $\epsilon_0 = \epsilon_0$

Суммар

14.11.2006 (по-моему, это была лекция)

$$\vec{\Pi} = \frac{1}{2} \vec{E}_m \times \vec{H}_m^* = \frac{1}{2z_c} (\vec{E}_m^2 + \vec{E}_m^2) \vec{i}_z \quad (3)$$

Косинус вектор Пойнтинга содержит в косинус угла
 $|\vec{E}_m^2|$ и $|\vec{E}_m^2|$ ($\vec{i}_z \perp \vec{i}_y$)

Винт. случай:

$$\mu_0 = \mu_0 \quad \vec{b} = 0 \quad \epsilon_0 = \epsilon_0 = \epsilon_0$$

$$z_c = z_c = \sqrt{\frac{\mu_0}{\epsilon_0}} = 120\pi$$

$$\vec{\Pi}_p = \text{Re} \left\{ \frac{\vec{E}_m^2 + \vec{E}_m^2}{2z_c} \right\} \vec{i}_z = \frac{\vec{E}_m^2}{2z_c} \vec{i}_z \quad (2)$$

$$\vec{E}_m^2 = \vec{E}_m^2 + \vec{E}_m^2$$

Вект $\vec{\Pi}$ и $\vec{\Pi}_p$ содержит только радиаль-
ную составляющую, и не содержит поперечную.

В свободном пр-ве косинус вект $\vec{\Pi}$ вы-се этого
вычисл. и пр-се по пр-ле (2)

$$F_n(\theta, \varphi) \triangleq \frac{\vec{\Pi}_p(\theta, \varphi)}{\vec{\Pi}_p(\theta_0, \varphi_0)} \quad (3)$$

$$(\theta_0, \varphi_0) = \arg \max_{(\theta, \varphi)} \vec{\Pi}_p(\theta, \varphi) \quad (4)$$

из (2) \Rightarrow $\left. \begin{aligned} & \text{тогда} \\ & F_n(\theta, \varphi) = \frac{E_m^2(\theta, \varphi)}{E_m^2(\theta_0, \varphi_0)} = F^2(\theta, \varphi) \end{aligned} \right\}$

$$F(\theta, \varphi) = \frac{E_m(\theta, \varphi)}{E_m(\theta_0, \varphi_0)} \quad (\text{см. (9)-(14) из}$$

гл. 1 параграф по мощности = диаграмм ФН
по радиусу. ФН по мощности, как ФН по дальности в ДЗ
от дальности не зависит, вы-се радиус.

Тригонометрический

$$R_{D3} = \frac{2D^2}{2} \quad (13)$$

или же R_p \Rightarrow $R_p = \sqrt{R^2 - \rho^2} = \sqrt{R^2 - 2(\rho, R) + \rho^2} =$
 $= R \sqrt{1 - 2 \frac{\rho \cos \delta}{R} + \frac{\rho^2}{R^2}} \quad (6)$

Рассмотрим (6) в пред по степеням ρ получ-
шим: $R_p = R - \rho \cos \delta + \frac{1}{2} \frac{\rho^2}{R} \sin^2 \delta + \frac{1}{2} \frac{\rho^3}{R^2} \sin^2 \delta \cos \delta$

$D3$: углы только в первом квадранте (2)
 $R_p = R - \rho \cos \delta$

При малых углах $D3$ пр-ле R_p (8)
вы-се этого получим $R_p = R - \rho \cos \delta - \frac{1}{2} \frac{\rho^2}{R} \sin^2 \delta \quad (9), \quad \frac{\rho}{R} \ll 1$

$$y_{np} = \beta (R_{sp})_{np}$$

приближенно
погреш

$$y_m = \beta (R_p)_m$$

точно

Погрешность, возникающая при замерах точного значения приближенными:

$$\Delta y = |y_{np} - y_m| = \beta \frac{p^2}{2R} \sin^2 \gamma$$

Найдем граничные на эту погр-ть:

$$(10) \quad |\Delta y| < \frac{\delta}{N} \quad (N=8) \text{ на практике}$$

22.5° - большое число
- отсутствие погрешности

$$|\Delta y| = \left| \beta \frac{p^2}{2R} \sin^2 \gamma \right| \leq \left| \frac{\beta p^2}{2R} \right| \leq \left| p \leq \frac{L}{2} \right| \leq$$

$$\leq \frac{29L^2}{4 \cdot 2R \cdot 2} = \frac{\pi L^2}{4R}$$

в уравнении (11) $\frac{\pi L^2}{4R} \leq \frac{\delta}{8} \Rightarrow$

$$R_{D3} \geq \frac{2L^2}{\delta} \quad (12)$$

D3 - та расстояние, которое рассчитывается от антенны на расстоянии $\frac{2L^2}{\delta}$, наименьшим расстоянием D3 величина по формуле (13) и простир-ся до бесконечности

L/2	10	100
R _{D3} /L	200	20000

Промежуточные зоны

любая часть зоны Френеля - зона дальности которой до антенны пренебрежимо мала:

$$\frac{L}{4} - \frac{L}{2} \left(\frac{L}{2} \right)^{1/3} \leq R \leq \frac{2L^2}{\lambda} \quad (14)$$

но (14), в которой уберем в первом члене

$$R_p = R - p \cos \gamma + \frac{1}{2} \frac{p^2}{R} \sin^2 \gamma \quad (15)$$

Р-на для вектора напряженности электрического поля:

$$\vec{A}_m^{e,m} = \frac{1}{4\pi} \int_V \vec{J}_{m,cm}(\vec{r}') \frac{e^{-j\beta R_p}}{R_p} dV \quad |R_p \approx R|$$

$$(16) \quad \vec{A}_m^{e,m} = \frac{1}{4\pi} \frac{e^{-j\beta R}}{R} \int_V \vec{J}_{m,cm} e^{j(\beta p \cos \gamma - \frac{1}{2} \frac{p^2}{R} \sin^2 \gamma)} dV$$

$$\vec{E}_m^e = -j\beta c [z_c \vec{A}_m^e - \vec{A}_m^m] ; \quad H_m^e = \frac{E_m^e}{z_c}$$

$$\vec{E}_m^y = -j\beta c [z_c \vec{A}_m^y + \vec{A}_m^m] ; \quad H_m^y = -\frac{E_m^y}{z_c}$$

$$\vec{E}_m^z = 0 ;$$

как

$$H_m^z = 0$$

Так же в D3 посылка строго говорит о том, что радиансы состави "0".

Св-ва поле излучения прощупываемой зоны:

D3 зоны стр-ра поле в прощупываемой зоне имеет более плотный характер, однако зона первая св-ва, которыми характеризуются зоны D3. При этом на этой зоне можно наблюдать св-ва зоны D3. 1, 2, 3, 4

линейную поляризацию

(При ответе на этот вопрос необх-

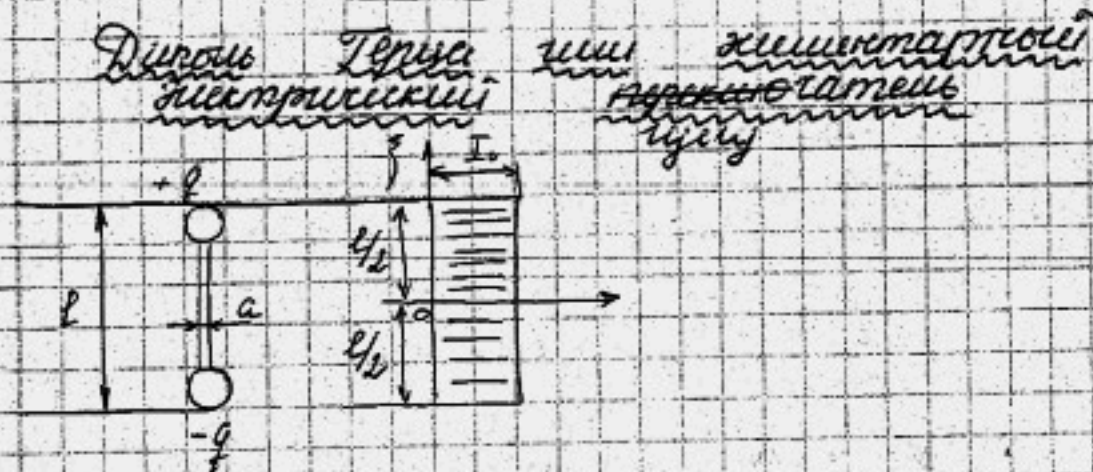
$$= \frac{1}{4} \left\{ (\dot{A}_m B_m^* + \dot{A}_m^* B_m) + [\dot{A}_m B_m e^{jz(\omega t - \beta \cdot \vec{r})} + \dot{A}_m^* B_m^* e^{-jz(\omega t - \beta \cdot \vec{r})}] \right\} \Rightarrow$$

$$Q(t) = \frac{1}{2} \operatorname{Re} \{ \dot{a}(t) \} \quad (9)$$

$$Q(t) \cdot V(t) = \frac{1}{2} \operatorname{Re} \{ \dot{A}_m B_m^* \} + \frac{1}{2} \operatorname{Re} \{ \dot{A}_m B_m e^{jz(\omega t - \beta \cdot \vec{r})} \} \quad (10)$$

16.11.2006

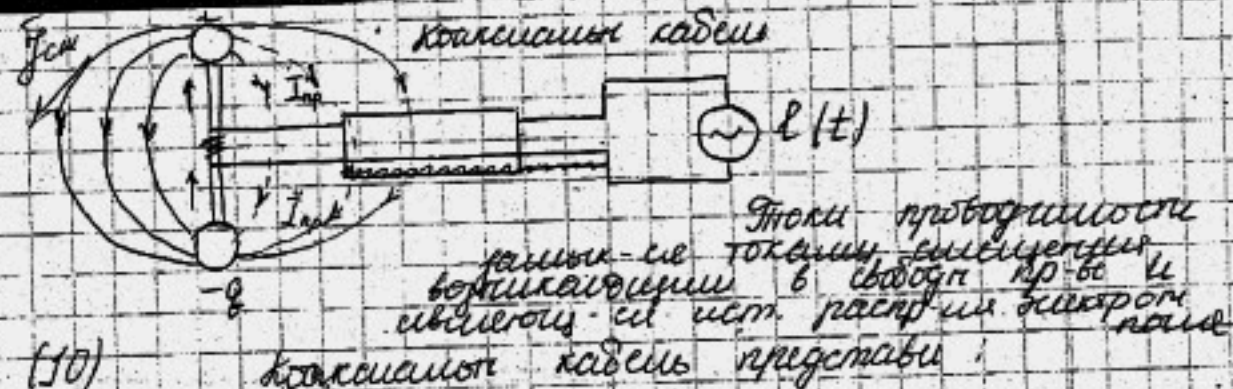
Величина №6



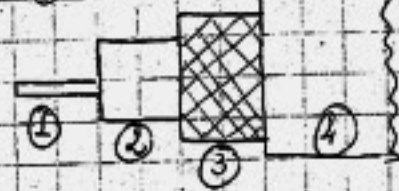
Внутренний проводник с шариками на поверхности и шариками, соединенными проводником, диаметр $a \ll r$, $r \ll \lambda$

Если шары зарядить q и $-q$ и оставить свободными, то система будет излучать волны, при этом проводники будут двигаться относительно друг друга.

На основе этой системы можно построить антенну.



- ① - внутренний проводник (центральный)
- ② - полимерная оболочка
- ③ - диэлектрический проводник

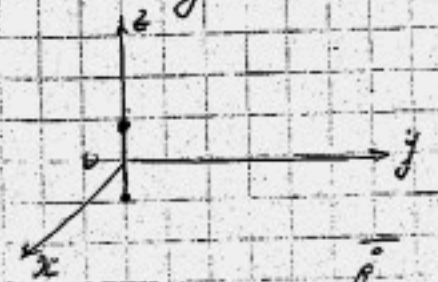


④ - наружная оболочка
Система работает на частоте до 10 ГГц

Влагостойкая конструкция излучает на длине λ ток имеет равномерное распределение по длине дио́ль Терма

Минимум тока будет в центре \vec{r} -на и максимум \vec{r} -на, определяющие $\vec{I}_m(\vec{r})$ в \vec{D}_3 (показатель вектор аналит)

$$\vec{J}_{\text{от,от}} = I_0 \delta(\vec{r}) \delta(\vec{r}) \vec{z} \quad (1)$$



дио́ль Терма в виде стержня расположен в параллели с z и ориентирован вдоль z .

$$\vec{A}_m = \frac{1}{4\pi} \int \frac{\vec{J}_m e^{-j\beta R}}{R} dV \quad (2)$$

$$R_g = |R - \vec{r}|, \quad R_g = R - r \cos \theta$$

Две гангоа шугаи сод-ае : $\omega = 2\pi f$, $\lambda = \frac{c}{f}$

$\omega = 2\pi f$, $\lambda = \frac{c}{f}$, $\omega = 2\pi f$, $\lambda = \frac{c}{f}$

$$\lambda = \frac{c}{f}$$

В ДЗ

тоа шугаи \Rightarrow вектор номеру \vec{A} може
никопуриек. \Rightarrow на пишем шугаи 'с' на y
моха, ηy номерушана

$$\vec{p} = (\xi, \eta, \zeta) \quad \vec{i}_\xi = \vec{i}_z$$

Структура шугаи с гангоаи и
в гангоа шугаи придегани отруок гангоа

$$\Omega = \left[-\frac{c}{2}, \frac{c}{2} \right]$$

$R_p \rightarrow R$, η шугаи номерушана (3) \Rightarrow

$$\vec{A}_m(\xi) = \frac{1}{4\pi} \int_{-\xi}^{\xi} \int_{-\eta}^{\eta} \int_{-\zeta}^{\zeta} I_0 \delta(\xi) \delta(\eta) \left[\frac{e^{-j\beta R}}{R} \right] \vec{i}_z e^{j\beta p \cos \theta} d\eta d\zeta d\xi =$$

шугаи, гангоаи шугаи
сб-во шугаи

$$= \frac{I_0}{4\pi} \frac{e^{-j\beta R}}{R} \left[\int_{-\xi}^{\xi} e^{-j\beta |\xi| \cos \theta} d\xi \right] \vec{i}_z \quad (4)$$

$$p = \sqrt{\xi^2 + \eta^2 + \zeta^2}$$

Оценим разность шугаи шугаи
и конусаи шугаи.

$$|\Delta \varphi| = |\beta \Delta R| \leq |\beta \frac{c}{2} \cos \theta| \leq \left| \frac{2\pi}{\lambda} \frac{c}{2} \right| = \frac{\pi}{\lambda} \frac{c}{2}$$

$$\Delta R = -p \cos \theta, \quad |p| = |\xi| < \frac{c}{2} \quad (\Delta R < \frac{c}{2})$$

m.k. $\frac{c}{\lambda} \ll 1 \Rightarrow \frac{c}{\lambda} \ll 1$

$$|\Delta \varphi| \ll 1 \quad (5)$$

m.e. разность шугаи δ лим гангоаи гангоа
шугаи шугаи, m.e. шугаи шугаи

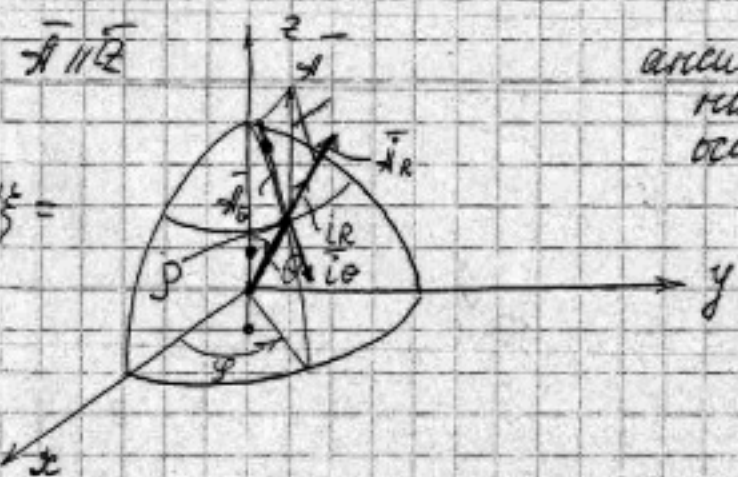
(4) предположим в гангоаи шугаи:

$$\int_{-\xi}^{\xi} d\xi = L$$

$$\vec{A}_m = \frac{I_0 L}{4\pi} \frac{e^{-j\beta R}}{R} \vec{i}_z \quad (6)$$

m.k. $\int_{-\xi}^{\xi} e^{-j\beta |\xi| \cos \theta} d\xi = \int_{-\xi}^{\xi} e^{j\beta \xi \cos \theta} d\xi = L$

шугаи в гангоаи шугаи



шугаи шугаи в шугаи-
шугаи шугаи, шугаи шугаи шугаи
шугаи шугаи шугаи шугаи

$$A_{mr} = A_m \cos \theta \quad (7)$$

$$A_{m\theta} = -A_m \sin \theta \quad (8)$$

$$A_{mr} = \frac{I_0 L}{4\pi} \cos \theta \frac{e^{-j\beta R}}{R} \quad (7')$$

$$A_{m\theta} = \frac{I_0 L}{4\pi} \sin \theta \frac{e^{-j\beta R}}{R} \quad (8')$$

шугаи шугаи шугаи шугаи шугаи шугаи
шугаи шугаи шугаи шугаи шугаи шугаи
шугаи шугаи шугаи шугаи шугаи шугаи

14 (4) ур-ие Максвелла:

$$\vec{H}_m = \text{rot } \vec{A}_m$$

$$\text{div } \vec{H} = 0$$

⇒ поле \vec{H} соленоидально / поле \vec{E} потенциально / ⇒ \vec{H}_m можно представить как $\text{rot } \vec{A}$

$$(\vec{H} = \text{rot } \vec{A})$$

необходимо выбрать м.к. ∇ - по г.с.к. а сами пункты в сф.с.к.

ССК

$$\text{rot } \vec{B} = \frac{1}{R^2 \sin \theta} \begin{vmatrix} \vec{e}_R & R \vec{e}_\theta & R \sin \theta \vec{e}_\varphi \\ \frac{\partial}{\partial R} & \frac{\partial}{\partial \theta} & \frac{\partial}{\partial \varphi} \\ B_R & R B_\theta & R \sin \theta B_\varphi \end{vmatrix}$$

$$\vec{B} = (B_R, B_\theta, B_\varphi) = B_R \vec{e}_R + B_\theta \vec{e}_\theta + B_\varphi \vec{e}_\varphi$$

$$\vec{A}_m = \frac{I_0 l}{4\pi R} e^{-j\beta R} \vec{e}_z$$

$$\vec{A}_{mR} = \frac{I_0 l}{4\pi} \cos \theta \frac{e^{-j\beta R}}{R}$$

$$\vec{A}_{m\theta} = -\frac{I_0 l}{4\pi} \sin \theta \frac{e^{-j\beta R}}{R}$$

$$\vec{H}_m = \text{rot } \vec{A}_m = \frac{1}{R^2 \sin \theta} \begin{vmatrix} \vec{e}_R & R \vec{e}_\theta & R \sin \theta \vec{e}_\varphi \\ \frac{\partial}{\partial R} & \frac{\partial}{\partial \theta} & \frac{\partial}{\partial \varphi} \\ \frac{I_0 l \cos \theta e^{-j\beta R}}{4\pi R} & -\frac{I_0 l \sin \theta e^{-j\beta R}}{4\pi R} & 0 \end{vmatrix}$$

$$\begin{vmatrix} \vec{e}_R & R \vec{e}_\theta & R \sin \theta \vec{e}_\varphi \\ \frac{\partial}{\partial R} & \frac{\partial}{\partial \theta} & \frac{\partial}{\partial \varphi} \\ \frac{I_0 l \cos \theta e^{-j\beta R}}{4\pi R} & -\frac{I_0 l \sin \theta e^{-j\beta R}}{4\pi R} & 0 \end{vmatrix}$$

$$= \frac{I_0 l}{R^2 \sin \theta 4\pi} \begin{vmatrix} \vec{e}_R & R \vec{e}_\theta & R \sin \theta \vec{e}_\varphi \\ \frac{\partial}{\partial R} & \frac{\partial}{\partial \theta} & \frac{\partial}{\partial \varphi} \\ \frac{\cos \theta e^{-j\beta R}}{R} & -\sin \theta e^{-j\beta R} & 0 \end{vmatrix}$$

$$= \vec{e}_R \left(\frac{\partial}{\partial \varphi} [\sin \theta e^{-j\beta R}] \right) + R \vec{e}_\theta \left(\frac{\partial}{\partial R} \left[\frac{\cos \theta e^{-j\beta R}}{R} \right] - \frac{\partial}{\partial \theta} \left[\frac{\sin \theta e^{-j\beta R}}{R} \right] \right)$$

$$\frac{e^{-j\beta R}}{R} \left[-\sin \theta \frac{\partial}{\partial \theta} \right] + R \sin \theta \vec{e}_\varphi \left(\frac{\partial}{\partial R} \left[\frac{\cos \theta e^{-j\beta R}}{R} \right] - \frac{\partial}{\partial \theta} \left[\frac{\sin \theta e^{-j\beta R}}{R} \right] \right)$$

$$= \frac{I_0 l}{R^2 \sin \theta 4\pi} R \sin \theta \vec{e}_\varphi \left(-\sin \theta (-j\beta) e^{-j\beta R} - \left\{ -\sin \theta \frac{e^{-j\beta R}}{R} \right\} \right) = \frac{I_0 l \sin \theta e^{-j\beta R}}{R 4\pi} (j\beta - \frac{1}{R}) =$$

Уточняющие сведения в правых скобках являются результатом преобразования в сф.с.к.

$$= \frac{I_0 l}{4\pi R} \sin \theta e^{-j\beta R} \left(\frac{1 + j\beta R}{R} \right) \vec{e}_\varphi \quad (9)$$

$$R \gg \lambda \quad \frac{R}{\lambda} \gg 1 - \frac{\beta R}{\lambda} \gg 1$$

$$\vec{H}_m(R) = j\beta \frac{I_0 l}{4\pi} \sin \theta \frac{e^{-j\beta R}}{R} \vec{e}_\varphi \quad (10)$$

⇒ малый ток поле имеет характер точечной волны в ДЗ

$$\vec{H}_m \parallel \vec{e}_\varphi \quad \vec{H}_m = H_m \vec{e}_\varphi \quad (11)$$

$$\vec{H}_m = j\beta \frac{I_0 l}{4\pi} \sin \theta \frac{e^{-j\beta R}}{R} \quad (12)$$

Найдём вектор электрического поля, для этого воспользуемся первым ур-ием Максвелла.

$$(I) \quad \text{rot } \vec{H}_m = j\omega \epsilon_0 \vec{E}_m \quad (\sigma = 0, \vec{E}_a = \vec{E}_0)$$

$$j_{m,r}(\vec{R}) = 0, \sigma = 0, \vec{E}_a = \vec{E}_0$$

$$\vec{E}_m = \frac{1}{j\omega \epsilon_0} \text{rot } \vec{H}_m \quad (13)$$

$$\vec{E}_m = j \frac{I_0 l}{4\pi R} \sin \theta \frac{e^{-j\beta R}}{R} \vec{e}_\theta \quad (14)$$

$$Z_0 = \sqrt{\frac{\mu_0}{\epsilon_0}} = 120\pi$$

Ф-на (14) - продолжу δ-ли через Ф-лет.
 где гипотез Герца Ф-на год-ся строго
 сд. парал.

$\vec{E}_m \parallel \vec{i}_0$, ψ и R соответствуют
 единств отлив \vec{H}_m от \vec{E}_m , то \vec{H}_m в \vec{E}_m
 соотнесенные характ-я соотнесен з. евобог-
 пою пр-ва.

На основе вып-ий \vec{E}_m и \vec{H}_m получаем
 относные пар-ра где амплитуды E_m

ФН по полю

$$F(\theta, \psi) = \frac{E_m(\theta, \psi)}{|E_m(\theta_0, \psi_0)|} \quad R = \text{const}$$

где R - радиус сферы.
 на 1-ой и 2-ой ее части

У (14) $\Rightarrow \vec{E}_m$ не зависит от $\psi \Rightarrow$ ФН от
 ψ - симметрическое \vec{H}_m вращение вдоль
 осью ψ .

$$\vec{E}_m(\theta, \psi) = \vec{E}_m(\theta)$$

$$|E_m(\theta_0)| = 1 \cdot \frac{I_0 z_0}{2} \frac{\rho}{2} \frac{1}{R}$$

max $E_m(\theta, \psi)$
 $\sin \theta = 1$ в max

$$F(\theta, \psi) = \frac{\int \frac{I_0 z_0}{2} \frac{\rho}{2} \sin \theta \frac{1}{R}}{\frac{I_0 z_0}{2} \frac{\rho}{2} \frac{1}{R}} = \int \sin \theta \quad (15)$$

$$\vec{F}(\theta) = F(\theta) e^{j\varphi(\theta)} \Rightarrow$$

$j = e^{j\pi/2}$

Р-1/2R
 где R - радиус сферы
 м.т. ФН хар-н
 м.т. ФН хар-н
 м.т. ФН хар-н

$$F(\theta) = \sin \theta e^{j\pi/2} \quad (16)$$

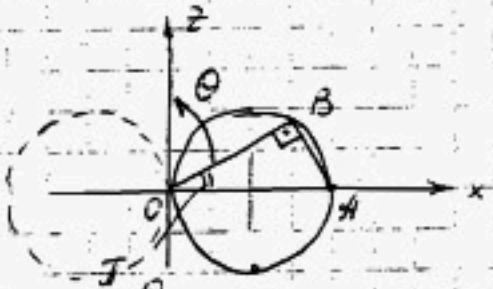
ФН

$$F(\theta) = |F(\theta)|$$

$0 \leq \theta \leq \pi$, а $\sin \geq 0$ в этой части \Rightarrow
 модуль $F(\theta)$ не писать.

У (16) \Rightarrow ФН и \vec{E}_m
 на все направления θ и ψ равноценно
 в гипотез Герца.

ФН $F(\theta) = \sin \theta$, центр в п.с.к



На отрезке OA \vec{H}_m
 по окружности \vec{H}_m
 сдв-т $R = \lambda/2$
 $OB = OA \cos(\frac{\pi}{2} - \theta) = OA \sin \theta$

вращается \Rightarrow $F(\theta) = OB = \lambda \sin \theta = \sin \theta$
 в \vec{H}_m \vec{H}_m \vec{H}_m \vec{H}_m \vec{H}_m
 \Rightarrow \vec{H}_m не равнонаправлен, т.е. поле \vec{H}_m
 гипотез Герца зависит от угла $\theta \Rightarrow$ евобог-
 неоднородности в \vec{H}_m , совпад с продольной осью \Rightarrow
 $= 0$, т.е. \vec{H}_m по \vec{H}_m \vec{H}_m \vec{H}_m \vec{H}_m
 нормами гипотез Герца.

Закон направленности:

В \vec{H}_m \vec{H}_m \vec{H}_m \vec{H}_m \vec{H}_m \vec{H}_m \vec{H}_m
 на \vec{H}_m \vec{H}_m \vec{H}_m \vec{H}_m \vec{H}_m \vec{H}_m \vec{H}_m
 на \vec{H}_m \vec{H}_m \vec{H}_m \vec{H}_m \vec{H}_m \vec{H}_m \vec{H}_m

Общая хар-ка $F(\theta) = \frac{\pi}{2}$

Итак делаем:

1. Вектор \vec{H}_m
2. ФН $F(\theta)$
3. Относительная $F(\theta)$
4. ФН по \vec{H}_m

Вектор индукции магнитной

$$\vec{H} = \frac{1}{2\epsilon_0} \vec{E}_m \times \vec{H}^* \quad (18)$$

$$\begin{aligned} \vec{r} &\perp \vec{E}_m \\ \vec{r} &\perp \vec{H} \\ \vec{r} &\perp \vec{H} \end{aligned}$$

можем считать в этой точке радиус-вектор направлен в сторону системы координат



$$\vec{H} = \frac{1}{2} \begin{vmatrix} \vec{r} & \vec{E}_m & \vec{H}^* \\ 0 & 0 & 0 \\ 0 & \frac{I_0 z_0}{4} & \left(\frac{l}{\lambda}\right)^2 \sin^2 \theta \end{vmatrix}$$

$$= \frac{1}{2} \vec{r} \frac{I_0 z_0}{4} \left(\frac{l}{\lambda}\right)^2 \sin^2 \theta = \frac{1}{2} \vec{r} (-1) \frac{I_0^2 z_0}{4} \left(\frac{l}{\lambda}\right)^2 \sin^2 \theta \frac{1}{R^2}$$

$$= \frac{I_0^2 z_0}{8R^2} \left(\frac{l}{\lambda}\right)^2 \sin^2 \theta \vec{r} \quad (19)$$

КНД

2. радиусе стержня КНД

1. определение

$$D = \frac{\Pi_{cp}^{max}(\theta, \varphi)}{\Pi_{cp}^{ради}} \quad \left| \begin{array}{l} R = const \\ \rho_{ради} = R \end{array} \right.$$

это отношение макс. значения вектора Π к значению Π на радиусе стержня, то есть $\rho = R$

В кн-те Π макс. значение Π будет в центре стержня и по мере удаления от центра Π будет уменьшаться.

$$\Pi_{cp} = R \{ \Pi \}$$

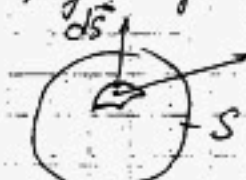
У нас Π направлен в сторону \vec{r}

\Rightarrow из (19) \Rightarrow

$$\vec{\Pi}_{cp} = \vec{\Pi}$$

$$P_{z,cp} = \oint_S \vec{\Pi}_{cp} \cdot d\vec{S}$$

максимум Π в центре стержня



dS - нормаль; S - площадь поверхности; \vec{n} - хар-т направления нормали к поверхности

в кн-те S можно брать γ по-т, где γ угодно брать γ с учетом в центре стержня

Для сферы dS π по-т будет $dS \parallel \vec{r}$, касат. \perp радиусу \vec{r} в γ м. Внешн. нормаль будет направл. \vec{r} , но радиусу.

$$\vec{\Pi} = \Pi_{cp} \parallel \vec{r}$$

$$\vec{r} \cdot \vec{r} = r^2 = 1$$

$$\Rightarrow P_{z,cp} = \int_{S=4\pi} \Pi_{cp} dS, \quad \text{вместо кан. площадь} \Rightarrow \text{площадь сферы}$$

$$dS = R^2 \sin \theta d\theta d\varphi, \quad \text{гор-та}$$

$$P_{z,cp} = \frac{I_0 z_0}{8R^2} \left(\frac{l}{\lambda}\right)^2 R^2 \int_0^{2\pi} \int_0^\pi \sin^3 \theta d\theta d\varphi$$

$$\int_0^{2\pi} \int_0^\pi \sin^3 \theta d\theta d\varphi = \int_0^{2\pi} d\varphi \int_0^\pi \sin^3 \theta d\theta = 2\pi \cdot \frac{4}{3} =$$

$$\int_0^\pi \sin^3 \theta d\theta = \int_0^\pi (1 - \cos^2 \theta) d\cos \theta = \int_0^\pi \cos \theta d\cos \theta - \int_0^\pi \cos^3 \theta d\cos \theta = \cos \theta \Big|_0^\pi - \frac{1}{4} \sin 2\theta \Big|_0^\pi = \frac{8}{3} \pi$$

$$= \frac{I_0^2 Z_0 \pi}{3} \left(\frac{l}{\lambda}\right)^2 = 40 \pi^2 I_0^2 \left(\frac{l}{\lambda}\right)^2$$

$$\boxed{P_{\text{ср}} = \frac{P_{\Sigma}}{4\pi R^2} = \frac{I_0^2 Z_0}{12 R^2} \left(\frac{l}{\lambda}\right)^2} \quad (3)$$

по ф-ле (19)

при макс знач $\theta = \frac{\pi}{2}$

среднее значение за период

$$P_{\text{ср, макс}} = \frac{I_0^2 Z_0}{8 R^2} \left(\frac{l}{\lambda}\right)^2 \quad (1)$$

$$P_{\Sigma \text{ ср}} = \frac{I_0^2 Z_0 \pi}{3} \left(\frac{l}{\lambda}\right)^2 \quad (2)$$

$\Rightarrow P_{\text{ср, макс}} = \frac{I_0^2 Z_0}{8 R^2} \left(\frac{l}{\lambda}\right)^2$

1-я очередь крив

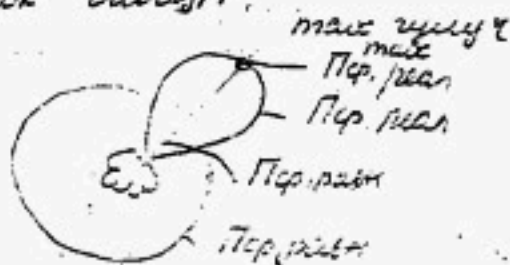
$$D \triangleq \frac{P_{\text{ср, макс}}}{P_{\text{ср}}} \Big|_{R=\text{const}} \quad (4)$$

оказывается как функция угла наклона с-в к нормали ант с максимумом в направлении излучения во все стороны равномерно

предполагая, что ант имеет симметричную диаграмму излучения $P_{\Sigma, \text{ ср}}$



по (4) формула пути остается той же, поэтому эту рас. перепис



Диграмма Герца по ф-ле (14) вычислим

$$F(\theta) = \sin \theta$$

$$D = \frac{I_0^2 Z_0 (l/\lambda)^2 R^2 \cdot 12}{8 R^2 I_0^2 Z_0 (l/\lambda)^2} = \frac{12}{8} = \frac{3}{2} = 1.5$$

Замечание: Крив симметрична ант. имеет 10-100-100 дБ, поэтому ант. сби мало параболы излучения, выходя по своим параболы с-в к излучению ант. Только высь ант. на которой ант. находится излучение ступенчатое.

Рассм. ф-лу (2) относительно излуч.

Можно излучение параболы термодуо мощность в сосье ж-к D (лучше) — лучше —

мощн. расель по всем сосье R_{Σ}

$$P_{\Sigma, \text{ ср}} = \frac{I_0^2 R_{\Sigma}}{2} \quad (6)$$

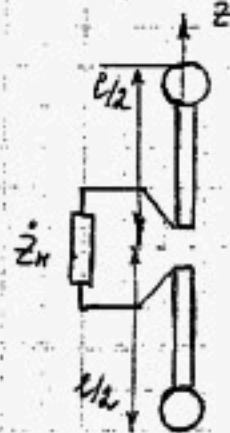
Сопоставим (2) и (6) найдем R_{Σ} при излуч ант.

$$\frac{I_0^2 R_{\Sigma}}{2} = \frac{I_0^2 Z_0 \pi (l/\lambda)^2}{3} \Big|_{Z_0 = 120 \Omega}$$

$$R_{\Sigma} = 80 \pi^2 \left(\frac{l}{\lambda}\right)^2 \quad (7)$$

Из (6) \Rightarrow если $I_0 = \text{const}$, то макс излуч при больш, чем больш сосье излуч.

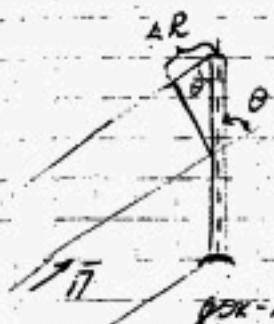
Дана ДП в решетке ПРК.



$$E_{\theta} = \begin{cases} E_{\theta 0} \cos(\frac{\pi}{2} - \theta) \\ E_{\theta 0} \cos(\theta - \frac{\pi}{2}) \end{cases} = E_{\theta 0} \sin \theta$$

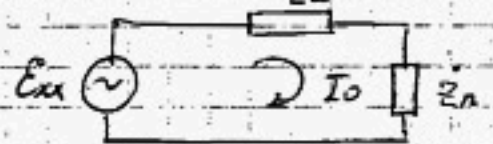
ДП пригодно - ее свойства и идеальность про-
водника, потому что имеет малый сопротивление, (св-
ств. элект. поля нулевого, если экран) ее
пробит хар-р радиальной уединенности, если
диполь замкнут на паразитку, то по всей
поверхности ток. под действием элект. поля в
ДП есть. пытаясь ток. представлять уединенности
уединенности в решетке выделенности уединенности
будет так-то, что в случае идеальной
проводн. имеет сопротивление полного элект. поля
полюса θ , представлять пылес. потому
имеет сопротивление вращению поля уединенности
вещь уединенности сопротивление пылес. поля,
наиб-нее уединенности.
сторона электр. поля соверш. работу по уединенности
диполь от источника энергии к дальности
и эта работа по-су флс (хар-ре темп-
уединенности (или)
тогда электр. поле электр. поле в ДП
наблюдается флс E_{xx} .

$$E_{xx} = \int_{-L/2}^{L/2} E_{em} dl = \int_{-L/2}^{L/2} -E_{mz} dz = -E_{m0} \sin \theta \cdot L$$



хар-ра, что
 $\max |A| \ll 1$
и с учетом
 $\max |A| = \frac{L}{2} \cos \theta$
 $\max |A| = |B| R = |B| \frac{L}{2} \cos \theta$
($L \ll \lambda$)

м.к. электр. поле на стороне
или радиальной реу. в сторону
нагрузки электр.



Z_0 - вх. сопротивление ДП в
решетке ПРК
 Z_n - вх. сопротивление нагрузки

на антенне
3-но ДП:

$$\left\{ \begin{aligned} I_0 &= -\frac{E_{m0} \sin \theta \cdot L}{Z_0 + Z_n} \end{aligned} \right\} (4)$$

Получим ФР в решетке ПРК
антенны

Видно, что ФР в решетке - парти-
робит по тем условиям, т.е.

$$F(\theta, \varphi) = \frac{E_m(\theta, \varphi)}{|E_m(\theta_0, \varphi_0)|}$$

направл. тем электр.
в решетке при ФР хар-р заб-те радиальной
ФР нормированности по макс. от паразитности
прихода паразитности пылес. электр.

по (3) $E_{xx} = -E_{m0} \sin \theta \cdot L$

$$E_{xx} = E_{xx}(\theta) \text{ если-ли ФР не } \theta$$

$$\max E_{xx} = E_{xx}(\theta_0) = -E_{m0} L$$

$$\theta_0 = \frac{\pi}{2}$$

Формула Фр:

$$F(\theta) = \frac{|E_{\text{кр}}(\theta)|}{\text{max } |E_{\text{кр}}|} = \sin \theta \quad (5)$$

Замечание: ранее показало, что в резонансе при
мощности ФН

$$F(\theta) = j \sin \theta$$

$$|F(\theta)| = \sin \theta \quad (6)$$

1) Из (4) и (5) \Rightarrow , что амплитуда ФН ДП в
резонансе при, тем же же как в резонансе
при

2) Эта функция имеет общий характер, т.е.
связанные друг с другом существуют.
В теории при док-а, что формула вект ФН

$F(\theta, \varphi)$ в резонансе при и при

одно и то же.

3) Формулы справедливы в том, что в при
резонансе при док-а сформулированы
ФН, а в резонансе при разрешены
эти вопросы, которые относятся к при
в том же направлении ФН.

Доказательство:

$$\text{div}(\vec{a} \times \vec{b}) = \vec{b} \cdot \text{rot} \vec{a} - \vec{a} \cdot \text{rot} \vec{b} \quad (1)$$

$$d(uv) = du \cdot v + u dv \quad (2) \quad ?$$

$$d(uv) = d(u \cdot \vec{v}_e + u_e \cdot v) = d(u v_e) - d(u_e v) =$$

указано, что при
применении формулы
указано, что при

$$= du \cdot v_e + u_e dv = du v + u dv$$

суммируем, учитывая zmg .

Применение той формулы при док-а
суммируем (1)

$$\begin{aligned} \text{div}(\vec{a} \times \vec{b}) &= \nabla \cdot (\vec{a} \times \vec{b}) = \nabla \cdot (\vec{a} \times \vec{b}_e + \vec{a}_e \times \vec{b}) = \\ &= \nabla \cdot (\vec{a} \times \vec{b}_e) + \nabla \cdot (\vec{a}_e \times \vec{b}) \end{aligned}$$

Применение к каждой величине св-ва.

$$\nabla \cdot (\vec{a} \times \vec{b}_e) = (\nabla \times \vec{a}) \cdot \vec{b}_e = \vec{b}_e \cdot (\nabla \times \vec{a}) =$$

$$\nabla \cdot (\vec{a}_e \times \vec{b}) = -\nabla \cdot (\vec{b} \times \vec{a}_e) = -(\nabla \times \vec{b}) \cdot \vec{a}_e$$

$$\begin{aligned} \text{div}(\vec{a} \times \vec{b}) &= \vec{b}_e \cdot (\nabla \times \vec{a}) - \vec{a}_e \cdot (\nabla \times \vec{b}) = \\ &= \vec{b} \cdot (\nabla \times \vec{a}) - \vec{a} \cdot (\nabla \times \vec{b}) \end{aligned}$$

Пример. 23.11.2006

$$a(t) \cdot b(t) = \text{Re} \left\{ \frac{A_m \cdot B_m}{2} \right\} + \text{Re} \left\{ \frac{A_m \cdot B_m}{2} e^{j2(\omega t - \vec{\beta} \cdot \vec{R})} \right\} \quad (1)$$

$$a(t) = A_m \cos(\omega t - \vec{\beta} \cdot \vec{R} + \varphi_a)$$

$$b(t) = B_m \cos(\omega t - \vec{\beta} \cdot \vec{R} + \varphi_b)$$

$$\hat{A}_n(\vec{R}) = A_m e^{-j\vec{\beta} \cdot \vec{R}}$$

$$\hat{A}_m = A_m e^{j\varphi_a}$$

$$B_m = B_m e^{j\varphi_b}$$

Умножив же-е $a(t) = b(t)$

$$a^2(t) = \text{Re} \left\{ \frac{|A_m|^2}{2} \right\} + \text{Re} \left\{ \frac{A_m^2}{2} e^{j2(\omega t - \vec{\beta} \cdot \vec{R})} \right\}$$

$$\frac{|A_m|^2}{2} - \frac{A_m^2}{2} \cos 2(\omega t - \vec{\beta} \cdot \vec{R}) + \varphi_a \quad \cancel{I} =$$

$$= \frac{A_m^2}{2} - \frac{A_m^2}{2} \cos [2\omega t - \beta \cdot R + \gamma_a]$$

§ P -на (1) число пров. элементов φ -ий, она имеет ось поперечна в осевом направлении. Вектор пров., направленные результирующая пространств φ -на (1).

$$\bar{a}(t) \cdot \bar{b}(t) = \text{Re} \left\{ \frac{A_m \cdot B_m^*}{2} \right\} + \text{Re} \left\{ \frac{A_m \cdot B_m}{2} e^{j2\omega t - \beta R} \right\} \quad (5)$$

$$= \text{Re} \left\{ \frac{A_m(\bar{R}) \cdot B_m^*(\bar{R})}{2} \right\} + \text{Re} \left\{ \frac{A_m(\bar{R}) \cdot B_m(\bar{R})}{2} e^{j2\omega t} \right\} \quad (5)$$

$$\bar{a}(t) \times \bar{b}(t) = \text{Re} \left\{ \frac{A_m(\bar{R}) \cdot B_m^*(\bar{R})}{2} \right\} + \text{Re} \left\{ \frac{A_m(\bar{R}) \cdot B_m(\bar{R})}{2} e^{j2\omega t} \right\}$$

$$= \text{Re} \left\{ \frac{A_m \times B_m^*}{2} \right\} + \text{Re} \left\{ \frac{A_m \times B_m}{2} e^{j2\omega t - \beta \cdot R} \right\}$$

$$\bar{a}(t) = \text{Re} \left\{ A_m(\bar{R}) e^{j\omega t} \right\} = \text{Re} \left\{ A_m e^{j(\omega t - \beta \cdot R)} \right\}$$

$$\bar{b}(t) = \text{Re} \left\{ B_m(\bar{R}) e^{j\omega t} \right\}$$

φ -на (5)-(8) получены на основе (1) эти φ -на имеют в радиолокационной и радиотехнической.

3-й компонент энергии

В электромагнитном поле, т.е. электрического и магнитного поля, существуют электрические и магнитные энергии.

$$\frac{\partial W}{\partial t} = -P_r + P_z + P_{em} \quad (1)$$

$W = W(\bar{R}, t)$ мощность $\frac{\partial W}{\partial t}$ и др.

$$P_r = P_r(\bar{R}, t) - \text{мощность потерь}$$

$$P_z = P_z(\bar{R}, t) - \text{мощность излучения, выходящая (-) или входящая (+) потоком}$$

$$P_{em} = P_{em}(\bar{R}, t) - \text{мощность сторонней энергии}$$

(1) : Целочисленные энергии в море имеют ось поперечна к осевому

лучевому элементу. Мощность потока энергии или вытек энергии имеет направление течения.

Вектор энергии излучения

Конкретизируем (1) на основе φ -ий. Максимум. Как правило, компьютер. Простейшая форма гек-во на оси-се гек-во γ -и β , т.е. φ -ий на. Сумма векторов того γ -на.

$$\bar{E} = \bar{E}(\bar{R}, t)$$

$$\bar{J}_{em} = \bar{J}_{em}(\bar{R}, t)$$

$$\bar{H} = \bar{H}(\bar{R}, t)$$

$$\begin{aligned} \text{(I)} \quad \text{rot } \bar{H} &= \text{grad } \bar{E} + \epsilon_0 \frac{\partial \bar{E}}{\partial t} + \bar{J}_{em} & | (-\bar{E}) \\ \text{(II)} \quad \text{rot } \bar{E} &= -\mu_0 \frac{\partial \bar{H}}{\partial t} & | (\bar{H}) \end{aligned} \Rightarrow$$

гипотеза гек-во энергии φ -на (2)

$$\text{div}(\bar{a} \times \bar{b}) = \bar{b} \cdot \text{rot } \bar{a} - \bar{a} \cdot \text{rot } \bar{b} \quad (2)$$

$$\text{div}(\bar{E} \times \bar{H}) = \bar{H} \cdot \text{rot } \bar{E} - \bar{E} \cdot \text{rot } \bar{H} = (3)$$

$$= \text{div}(\bar{E} \times \bar{H}) = \bar{H} \cdot \text{rot } \bar{E} - \bar{E} \cdot \text{rot } \bar{H} = -\text{div} \bar{E} \cdot \bar{E} - \epsilon_0 \bar{E} \cdot \frac{\partial \bar{E}}{\partial t}$$

$$= \bar{E} \cdot \bar{J}_{em} - \mu_0 \bar{H} \cdot \frac{\partial \bar{H}}{\partial t}$$

энергия \bar{E} и др. \bar{H} $\frac{\partial \bar{H}}{\partial t}$

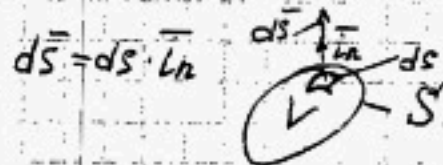
$$= -\delta \bar{E}^2 - \frac{1}{2} \left(\epsilon_0 \frac{\partial \bar{E}^2}{\partial t} + \mu_0 \frac{\partial \bar{H}^2}{\partial t} \right) - \bar{E} \cdot \bar{J}_{em} \quad (4)$$

т.н. $\bar{E} \cdot \bar{E} = \bar{E}^2$

$\bar{H} \cdot \bar{H} = \bar{H}^2$

$\frac{\partial \bar{H}^2}{\partial t} = 2\bar{H} \frac{\partial \bar{H}}{\partial t}$, $\frac{\partial \bar{E}^2}{\partial t} = 2\bar{E} \frac{\partial \bar{E}}{\partial t}$

с выделением производной от-н координат, слагаемых в мех. R и t.



Пл-во, ограниченное S

$$\int_V \text{div}(\bar{E} \times \bar{H}) dV = \int_V \left(\epsilon_0 \frac{\partial \bar{E}^2}{\partial t} + \mu_0 \frac{\partial \bar{H}^2}{\partial t} \right) dV - \int_V \bar{E} \cdot \bar{J}_{em} dV \quad (5)$$

Применим к интегралу в левой части формулу Гаусса - Остроградского.

$$\int_V \text{div}(\bar{E} \times \bar{H}) dV = \oint_S (\bar{E} \times \bar{H}) \cdot d\bar{S} \quad (6)$$

$$\oint_S (\bar{E} \times \bar{H}) \cdot d\bar{S} = \int_V \left(\epsilon_0 \frac{\partial \bar{E}^2}{\partial t} + \mu_0 \frac{\partial \bar{H}^2}{\partial t} \right) dV - \int_V \bar{E} \cdot \bar{J}_{em} dV \quad (7)$$

$$\frac{\partial W}{\partial t} = \int_V \left(\frac{\epsilon_0}{2} \frac{\partial \bar{E}^2}{\partial t} + \frac{\mu_0}{2} \frac{\partial \bar{H}^2}{\partial t} \right) dV \quad (8)$$

$$\frac{\partial W}{\partial t} = \frac{\partial}{\partial t} \int_V \left(\frac{\epsilon_0 \bar{E}^2}{2} - \frac{\mu_0 \bar{H}^2}{2} \right) dV \quad (9)$$

Стандартная процедура вычисления производных

$$W = \int_V \frac{\epsilon_0 \bar{E}^2 + \mu_0 \bar{H}^2}{2} dV \quad (10)$$

но з-ны Максвелла - уравнения 3-й пары

I $P_n = \int \sigma \bar{E} dV = \int \bar{J}_{np} \cdot \bar{E} dV = \int \bar{J}_{np} = \sigma \bar{E}$

нормаль перпенд. к поверхности, P_n - плотность потока энергии, т.н. поток энергии на единицу площади.

т.н. $P_n \cos \theta$ - ед. пог. энергии электр. поля, $P_n \sin \theta$ - ед. пог. энергии магн. поля.

$\bar{J}_{np} \cdot \bar{E} \geq 0 \Rightarrow P_n \geq 0$

Если есть поверхность с отрицательным $P_n > 0$ (т.е. генерирующая ток) значит $P_n < 0$

II $P_{om} = - \int \bar{E} \cdot \bar{J}_{em} dV =$

плотность энергии, P_{om} - ток, возмущающий ток, возмущающий ток, возмущающий ток. $\bar{E} \cdot \bar{J}_{em} < 0 \Rightarrow - \int \bar{E} \cdot \bar{J}_{em} dV > 0$

III Угловой момент

$$P_n = \oint_S \bar{E} \times \bar{H} \cdot d\bar{S} \quad (12)$$

т.н. $\bar{E} \times \bar{H}$ - вектор Пойнтинга, направление распространения энергии

$$\bar{\Pi} \equiv \bar{E} \times \bar{H} \quad (13)$$

Лекция 21.11.2006 (Глазков)

$$P_{\text{ср}} = \frac{S_0^2 Z_0}{8R^2} \left(\frac{e}{\lambda}\right)^2 \sin^2 \theta \quad (1)$$

$$P_{\text{э, ф}} = \frac{S_0' Z_0 \pi}{3} \left(\frac{e}{\lambda}\right)^2 \quad (2)$$